



# Adam Jerzy Rajewski

Zakład Termodynamiki  
Instytut Techniki Cieplnej  
Politechnika Warszawska



## ENERGETYKA WODNA

# TEORIA

# Cykl hydrologiczny



Retencja lodowców i śniegu

Opad

Odpływ wody z topniejącego śniegu

Przesiakanie wody do gruntu

Zródło

Przepływ w rzece

Retencja wody słodkiej

Odpływ wód gruntowych

Retencja gruntowa

Retencja atmosfery

Transpiracja

Parowanie

Odpływ powierzchniowy

Retencja oceanów



U.S. Department of the Interior  
U.S. Geological Survey

<http://ga.water.usgs.gov/edu/watercycle.html>

# ŁAŃCUCH PRZEMIAN ENERGII



Energia słoneczna

Energia wewnętrzna pary wodnej

Energia potencjalna wody

Energia kinetyczna wody

Magazynowanie energii

Wykorzystanie energii

# ZASTOSOWANIA HISTORYCZNE

# HYDRAULIC POWER EARLY USES

## Irrigation systems

- Ancient Mesopotamia and Egypt
- Ancient China

## Hydraulic clocks

## Water wheels

- Devices for converting hydraulic energy into mechanical energy of wheel's shaft
- Invented in ancient Greece
- Applications: water lifting, watermills, sawmills...

# TYPES OF WATER WHEELS

Horizontal wheel

Undershot wheel

Breastshot wheel

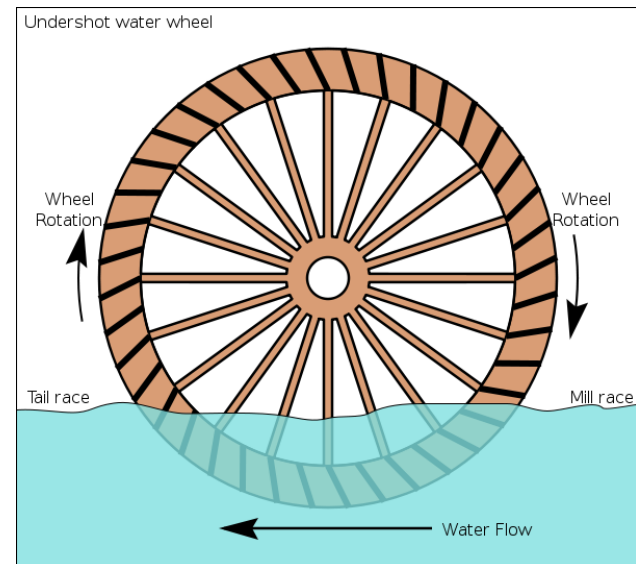
Overshot wheel

Backshot wheel

# KOŁO PODSIĘBIERNE

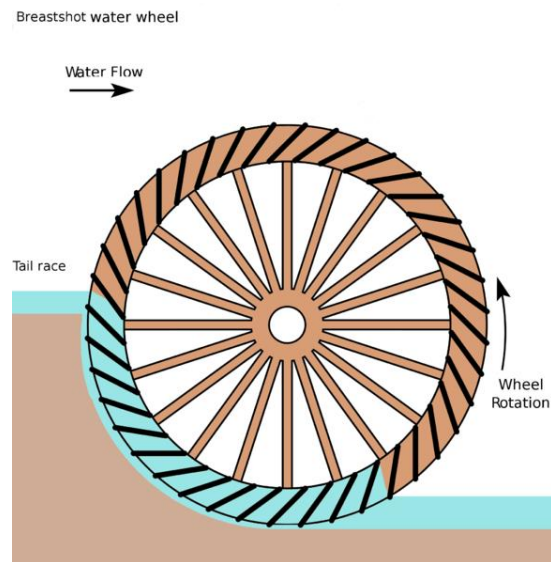


- ◎ Najstarsze rozwiązanie
- ◎ Niska sprawność (ok. 20%)
- ◎ Wykorzystanie en. kinetycznej
- ◎ Brak potrzeby spiętrzania  
Brak korzyści ze spiętrzenia
- ◎ Łatwe w budowie
- ◎ Wymaga silnego nurtu



# KOŁO ŚRÓDSIĘBIERNE

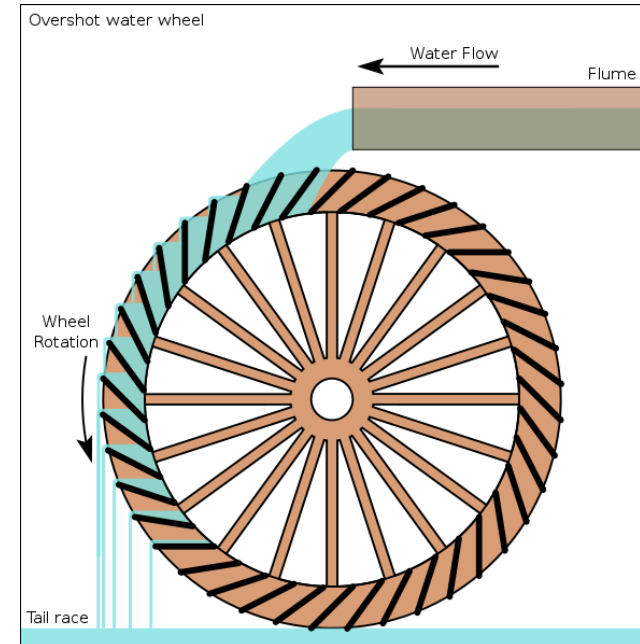
- ◎ Powszechnie w USA  
(okres Rewolucji Przemysłowej)
- ◎ Średnia sprawność
- ◎ Wykorzystanie energii kinetycznej i potencjalnej
- ◎ Rozwiązanie optymalne dla stabilnych dużych przepływów



# KOŁO NASIĘBIERNE

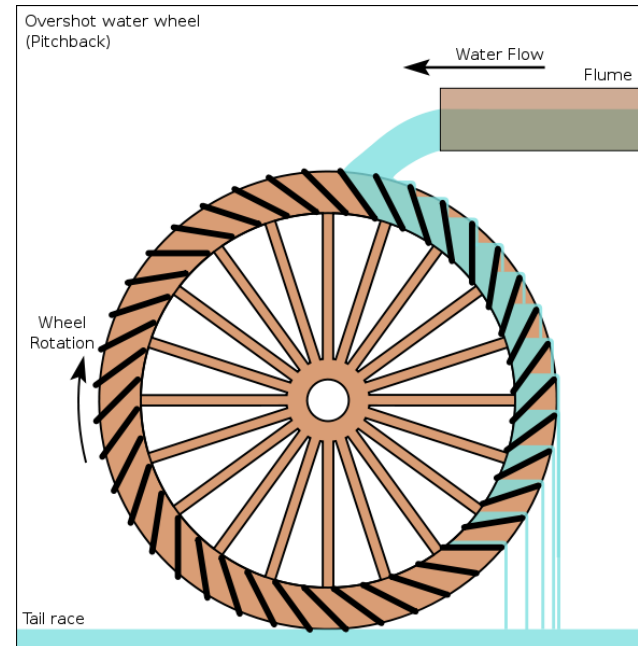


- ◎ Wysoka sprawność (>60%)
- ◎ Wykorzystanie energii potencjalnej
- ◎ Konieczne spiętrzanie wody



# KOŁO NASIĘBIERNE Z ZASILANIEM WSTECZNYM)

- ⦿ Kombinacja cech kół nasiębiernych i śródsiębiernych
- ⦿ Może pracować przy zmiennym poziomie odpływu



# KOŁA POZIOME

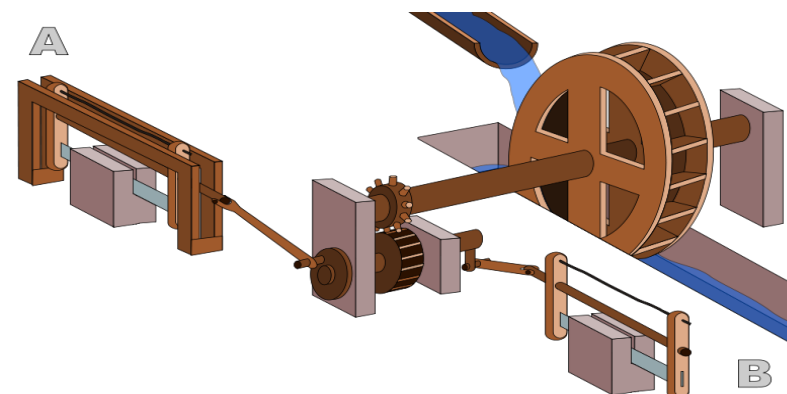
- ◎ Struga wody kierowana na łopatki
- ◎ Na ogół osadzone na wspólnej osi z napędzanym urządzeniem
- ◎ Popularne w Szkocji i pld. Europie



GRECKIE POZIOME KOŁO WODNE,  
RYS. SCOTTISH INDUSTRIAL HERITAGE  
SOCIETY

# TARTAK W HIERAPOLIS

- ◎ Rzymski tartak w Azji Mniejszej  
II połowa III wieku
- ◎ Śródsiebierne koło wodne
- ◎ Najstarszy znany mechanizm  
korbowy



# MODERN APPLICATIONS -

## - HYDROELECTRICITY

# CZY ENERGETYKA WODNA JEST „ODNAWIALNA”?

## Teoretycznie...

- Tak, jeśli przyjąć Słońce za OZE,
- ale...

## Praktycznie

- Duże elektrownie wodne na ogół klasyfikowane są oddziennie od innych OZE, ponieważ:
  - technologia jest już dojrzała i nie potrzebuje wsparcia,
  - wpływ na środowisko może być poważny.
- W niektórych systemach tylko małe elektrownie wodne (MEW) są klasyfikowane jako OZE.

# KLASYFIKACJA ELEKTROWNIA WODNYCH

## Duże

- Moc do 22 000 MW
- Obecnie pracują 3 instalacje o mocy powyżej 10 000 MW

## Małe

- Skandynawia, Szwajcaria: < 2 MW
- Polska: < 5 MW
- Większość krajów UE: < 10 MW
- USA: < 15 MW
- Kanada: < 50 MW

## Mikro

- Instalacje poniżej 100 kW

## Piko

- Instalacje poniżej 5 kW

# KLASYFIKACJA ELEKTROWNIA WODNYCH

## Zbiornikowe

- Duża budowla spiętrzająca
- Woda akumulowana w sztucznym zbiorniku

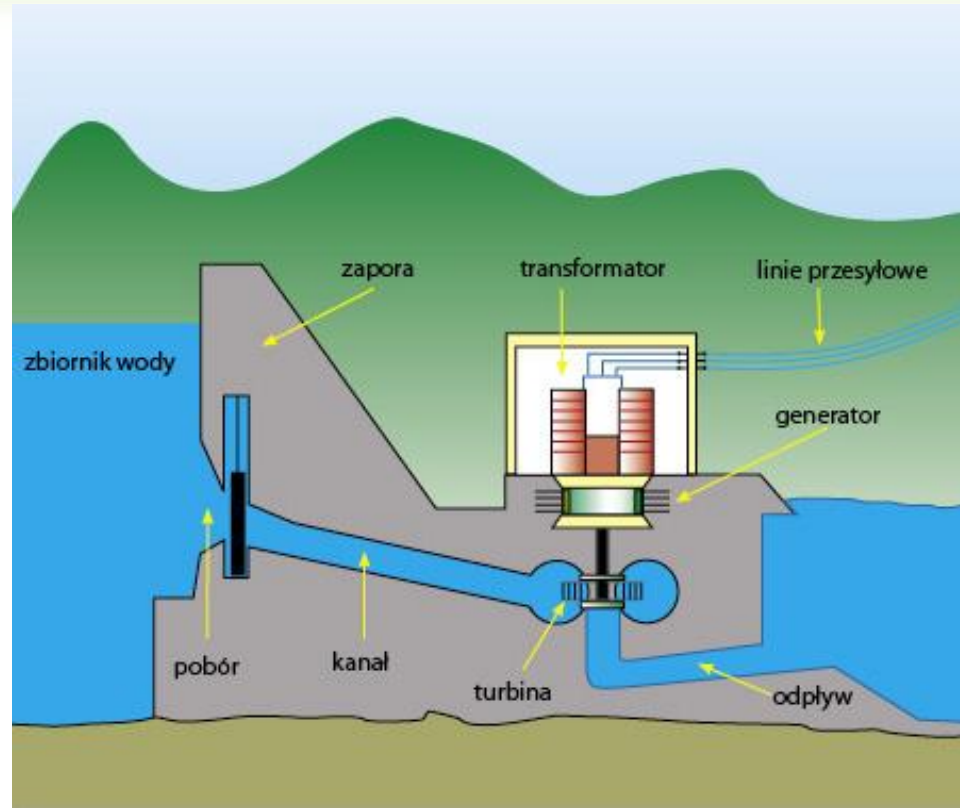
## Przepływowe

- Woda spiętrzona z niewielkim spadem  
(MEW bez spiętrzania)
- Brak dużego zbiornika

## Sczytowo-pompowe

- Nie stanowią naprawdę źródła energii elektrycznej
- Wykorzystanie do magazynowania nadmiaru energii i regulacji systemu elektroenergetycznego

# KONWENCJONALNA ELEKTROWNIA WODNA



# ELEKTROWNIA PRZEPŁYWOWA



# TECHNOLOGIA

# TURBINY WODNE

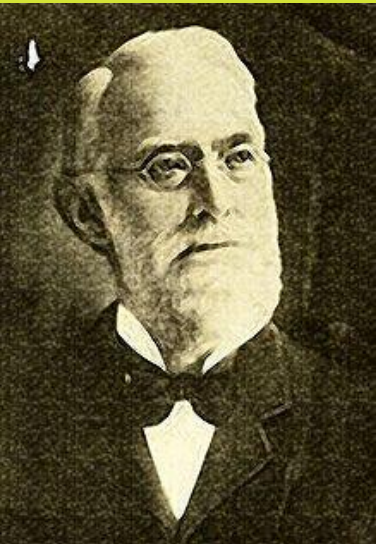
## Akcyjne

- Peltona
- Turgo
- krzyżowa

## Reakcyjne

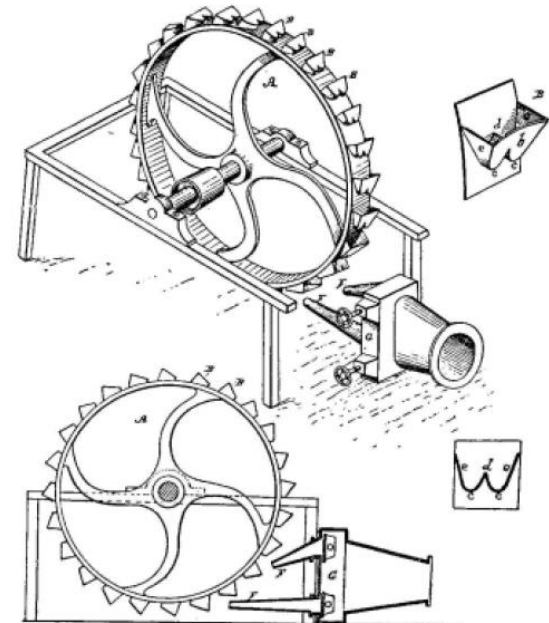
- Francisa
- Kaplana
- turbiny w nurcie swobodnym (Tysona, Gorłowa)

# TURBINA PELTONA



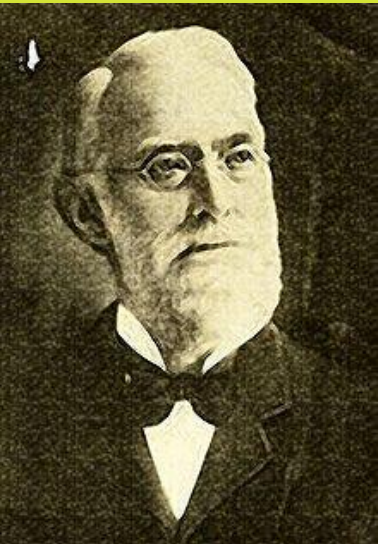
LESTER ALLAN PELTON  
(1829-1908)

- ◎ Turbina akcyjna
- ◎ Wynaleziona w latach 70. XIX w.
- ◎ Dla wysokich spadów i małych przepływów

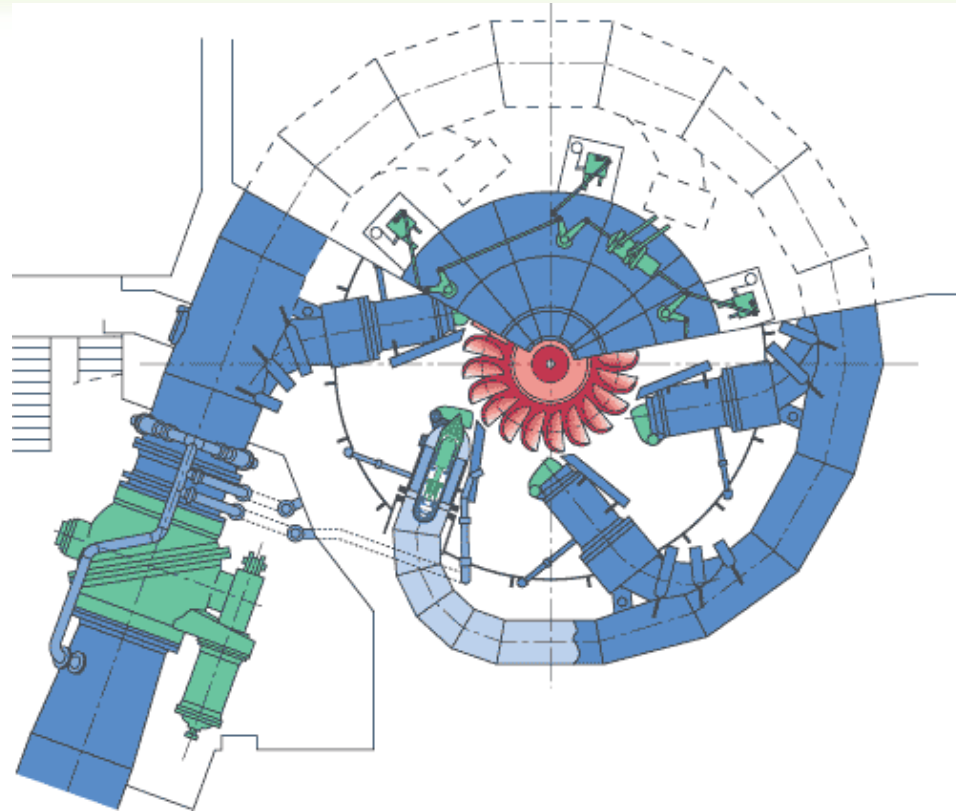


RYSUNEK Z WNIOSKU PATENTOWEGO PELTONA  
VIA WIKIPEDIA

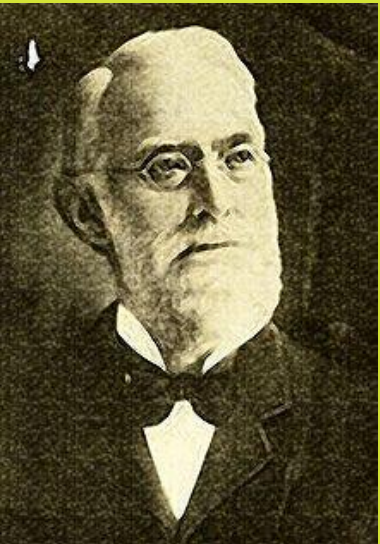
# TURBINA PELTONA



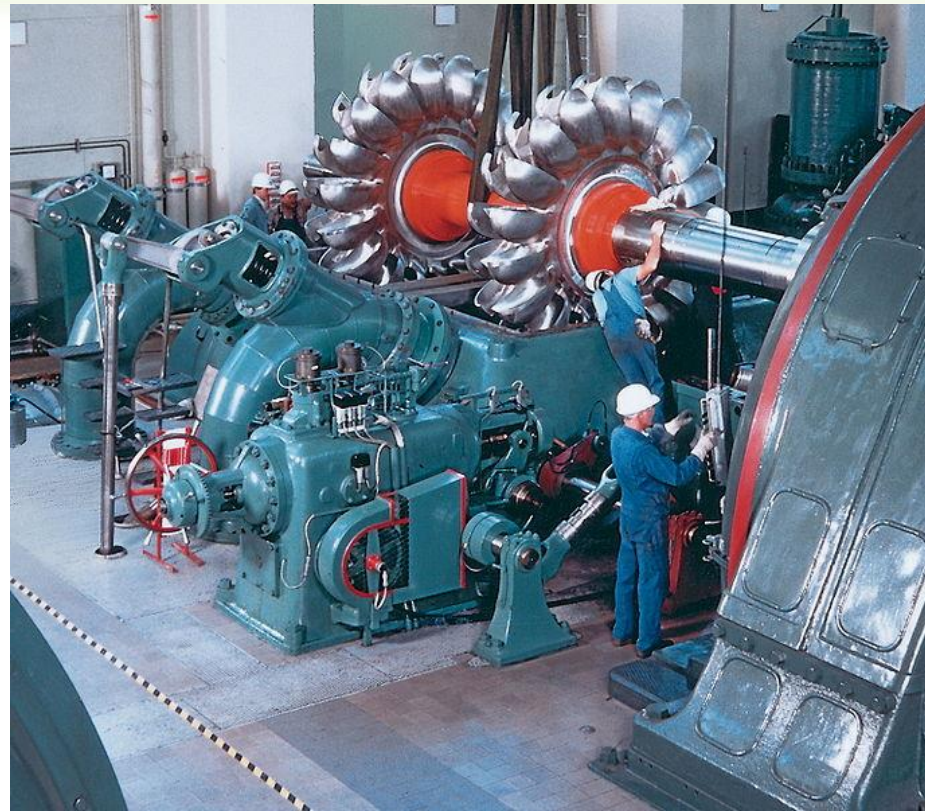
LESTER ALLAN PELTON  
(1829-1908)



# TURBINA PELTONA



LESTER ALLAN PELTON  
(1829-1908)



WIRNIKI TURBINY PELTONA, WALCHENSEEKRAFTWERK, GERMANY



JAMES B. FRANCIS  
(1815-1892)

# TURBINA FRANCISA

- ◎ Turbina wodna o przepływie dośrodkowym
- ◎ Skonstruowana w latach 40. XIX w.
- ◎ Najpowszechniej stosowany typ
- ◎ Szeroki zakres spadów i przepływów (ale nie dla bardzo małych spadów)
- ◎ Wszystkie elektrownie wielkiej mocy (skala GW)

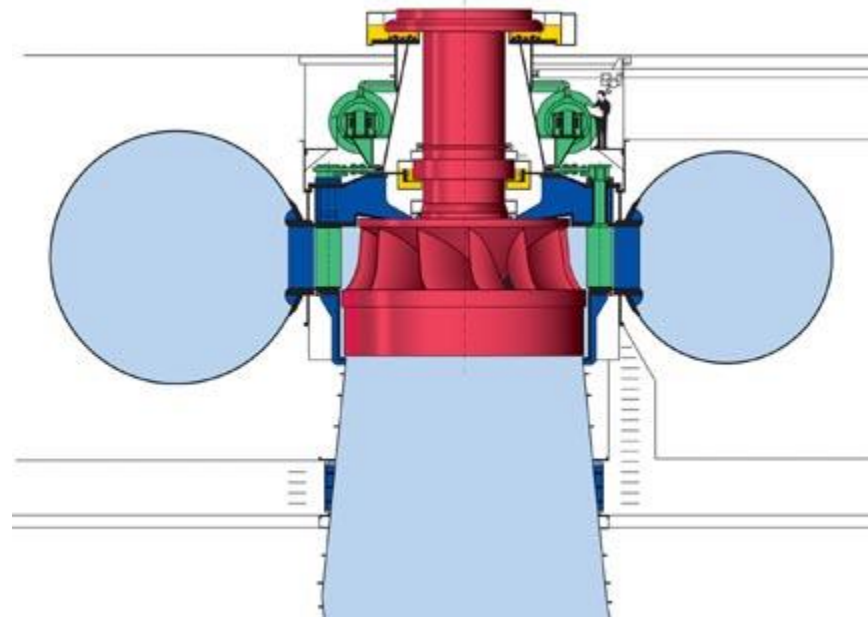


WIRNIK TURBINY FRANCISA DLA ZAPORY TRZECH PRZEŁOMÓW

# FRANCIS TURBINE



JAMES B. FRANCIS  
(1815-1892)





JAMES B. FRANCIS  
(1815-1892)

# TURBINA FRANCISA



NASTAWNE ŁOPATKI KIEROWNICZE - CAŁKOWICIE ZAMKNIĘTEJ  
(PO LEWEJ) I CAŁKOWICIE OTWARTE (PONIŻEJ)



# TURBINA FRANCISA



JAMES B. FRANCIS  
(1815-1892)



# TURBINA KAPLANA



VIKTOR KAPLAN  
(1876-1934)

- ◎ Reakcyjna turbina śmigłowa
- ◎ Ewolucja koncepcji Francisa
- ◎ Opracowana w 1912
- ◎ Samonastawne łopaty
- ◎ Stosowana przy niskich spadach i dużych przepływach

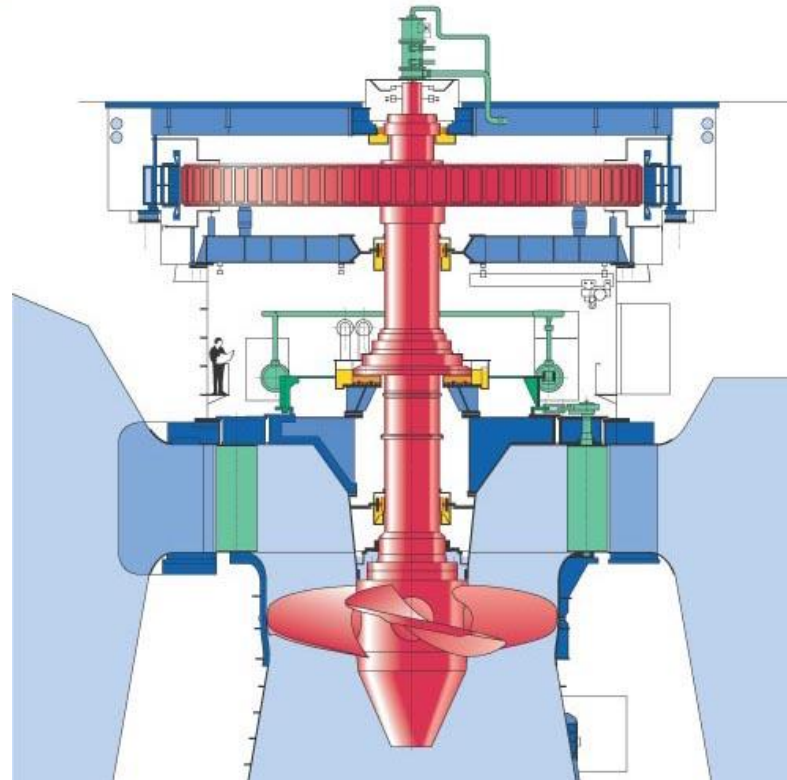


BONNEVILLE DAM - WIRNIK TURBINY KAPLANA PO 61 LATACH  
EKSPLOATACJI

# TURBINA KAPLANA



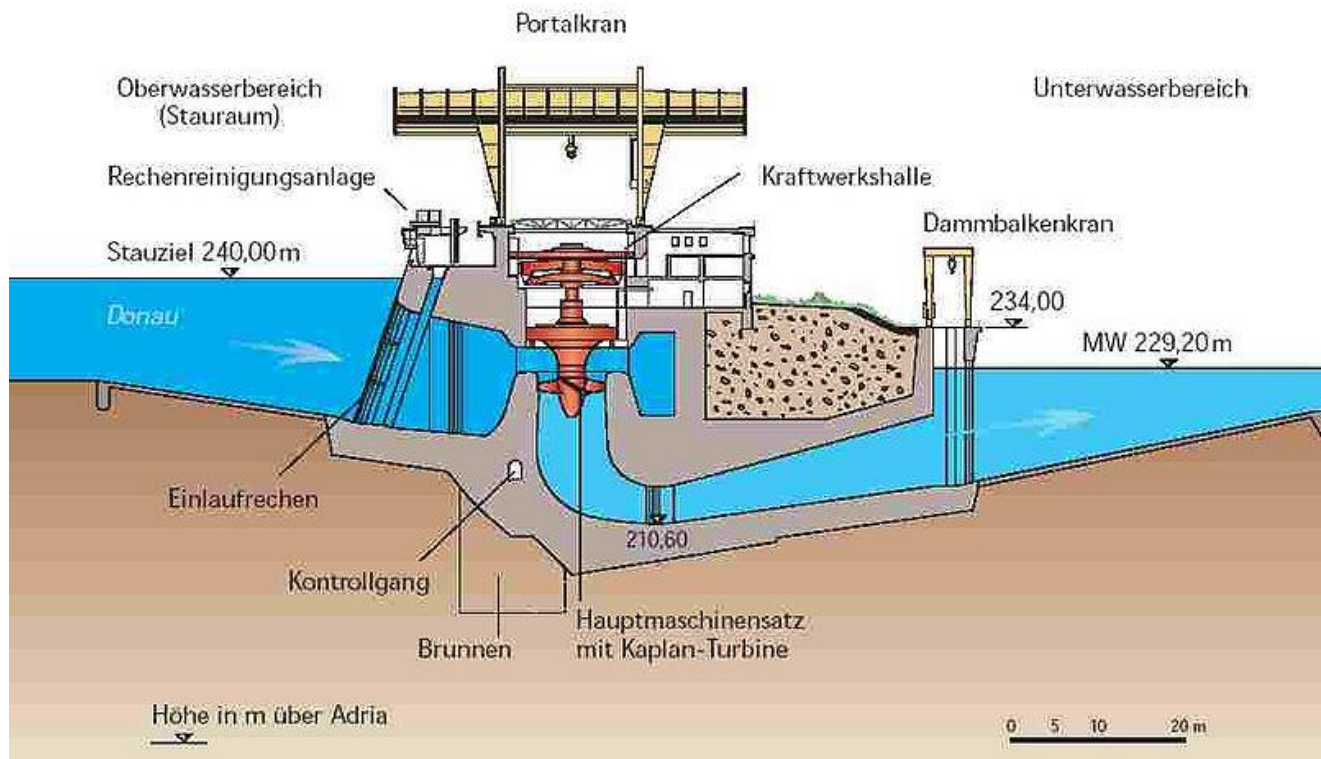
VIKTOR KAPLAN  
(1876-1934)



# PIONOWA TURBINA KAPLANA



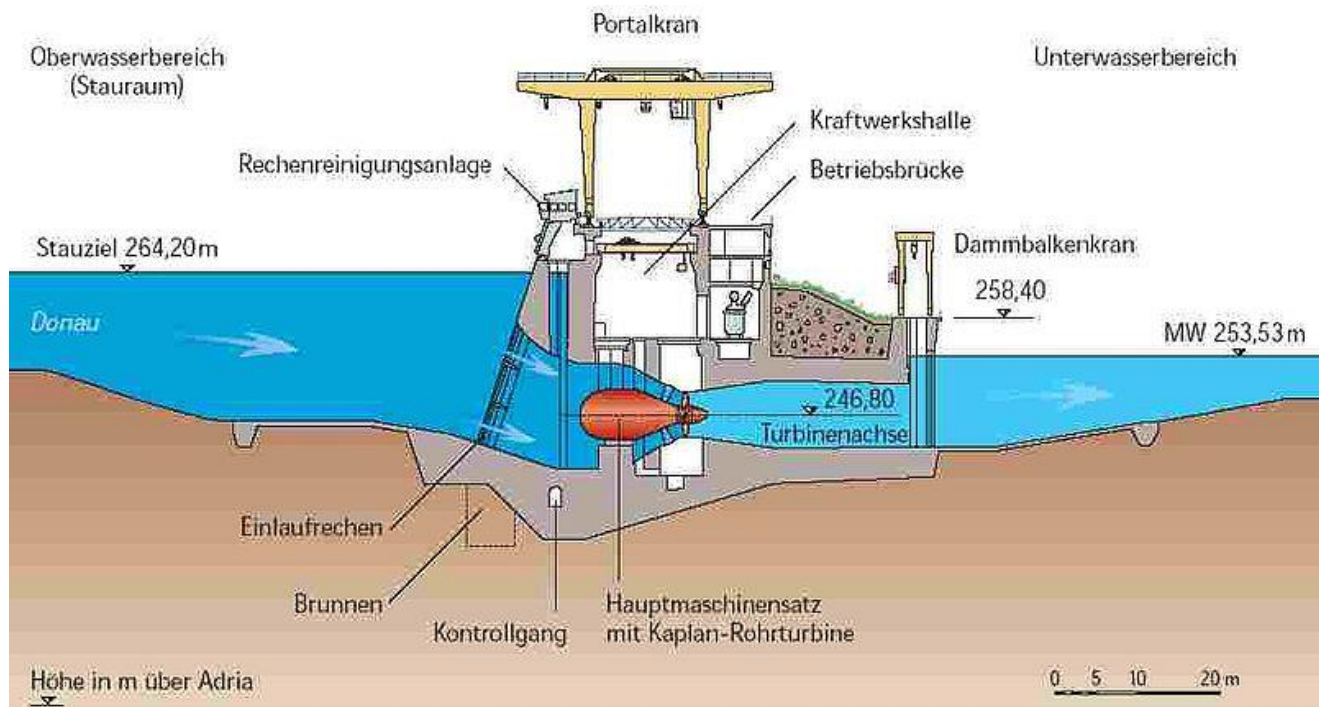
VIKTOR KAPLAN  
(1876-1934)



# POZIOMA TURBINA KAPLANA



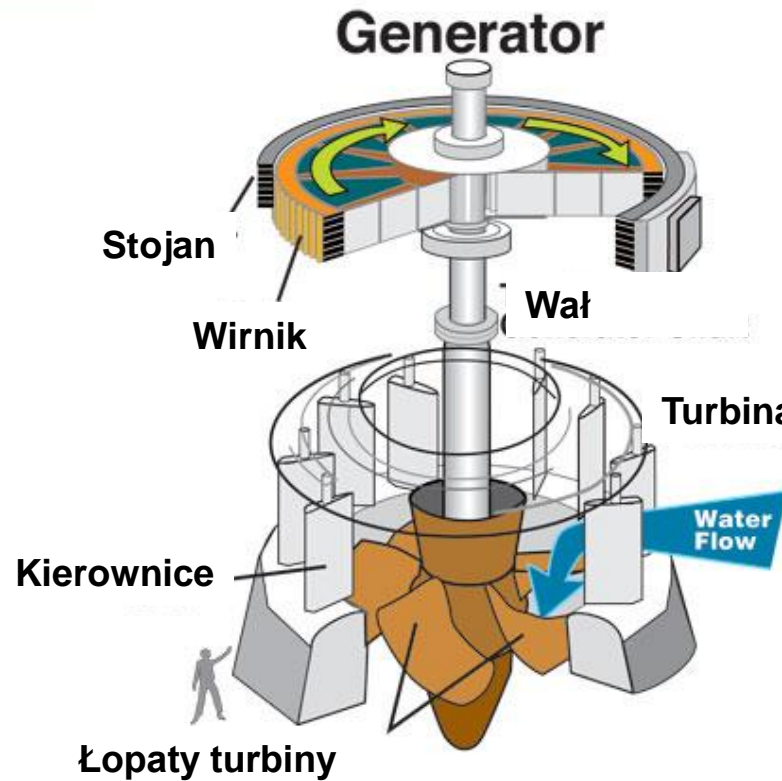
VIKTOR KAPLAN  
(1876-1934)



# PIONOWA TURBINA KAPLANA

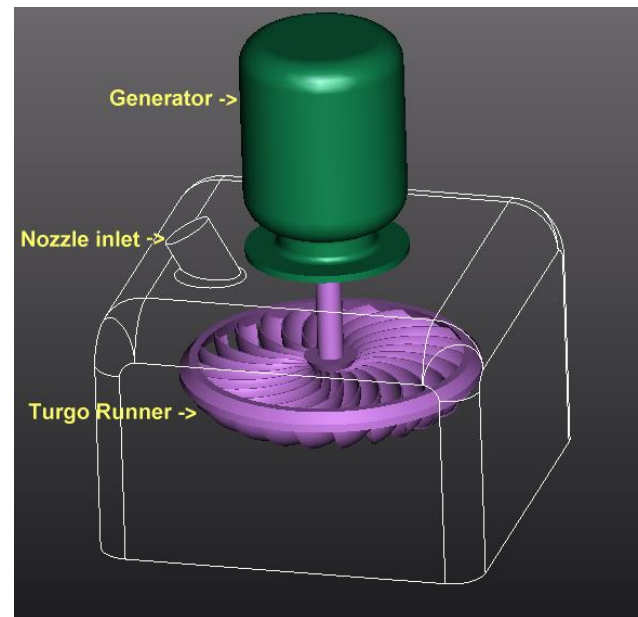


VIKTOR KAPLAN  
(1876-1934)



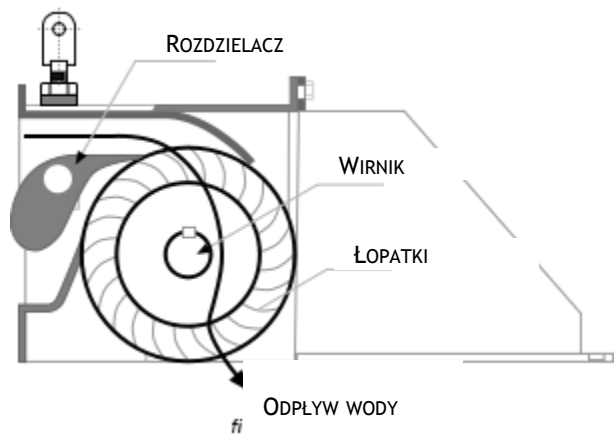
# TURBINA TURGO

- ◎ Turbina akcyjna
- ◎ Opracowana w 1919
- ◎ Sprawności poniżej 90%
- ◎ Stosowana przy małym przepływie i średnim spadzie

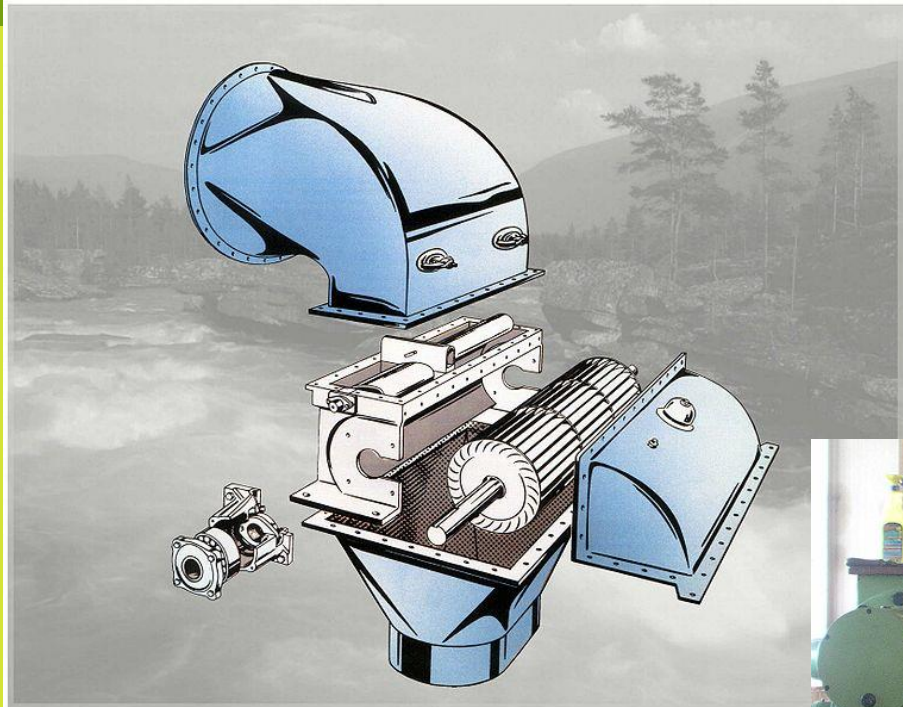


# TURBINY KRZYŻOWE (BANKI-MICHELLA, OSSBERGERA)

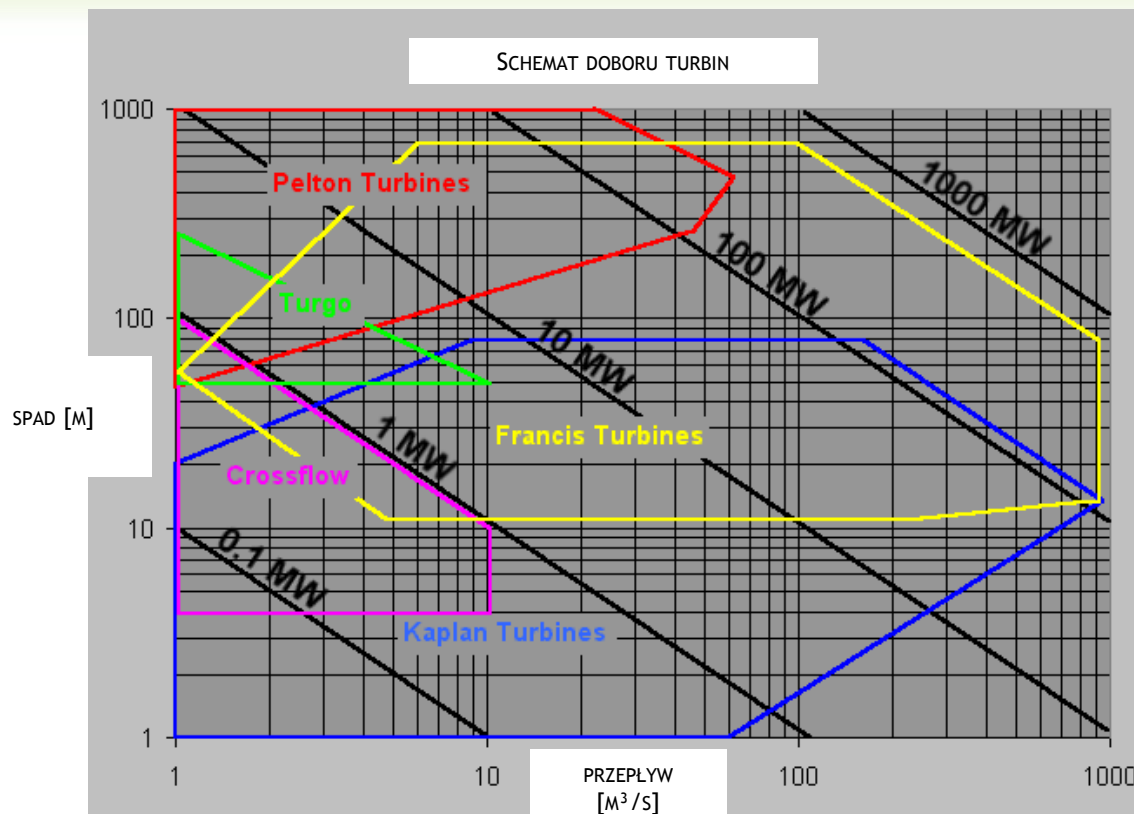
- ◎ Turbiny akcyjne
- ◎ Opatentowane w 1903  
(Michell) i 1933 (Ossberger)
- ◎ Sprawności niższe niż dla  
Kaplana, Francisa i Peltona
- ◎ Niski koszt
- ◎ Wysoka elastyczność (dobre  
osiągi przy obciążeniu  
częściowym)
- ◎ Małe instalacje



# TURBINA OSSBERGERA



# DOBÓR TURBINY



# DOSTĘPNA MOC

$$P = Q \cdot \rho \cdot g \cdot h \cdot \eta$$

$P$  – moc (W)

$Q$  – przepływ ( $\text{m}^3/\text{s}$ )

$\rho$  – gęstość wody ( $\text{kg}/\text{m}^3$ )

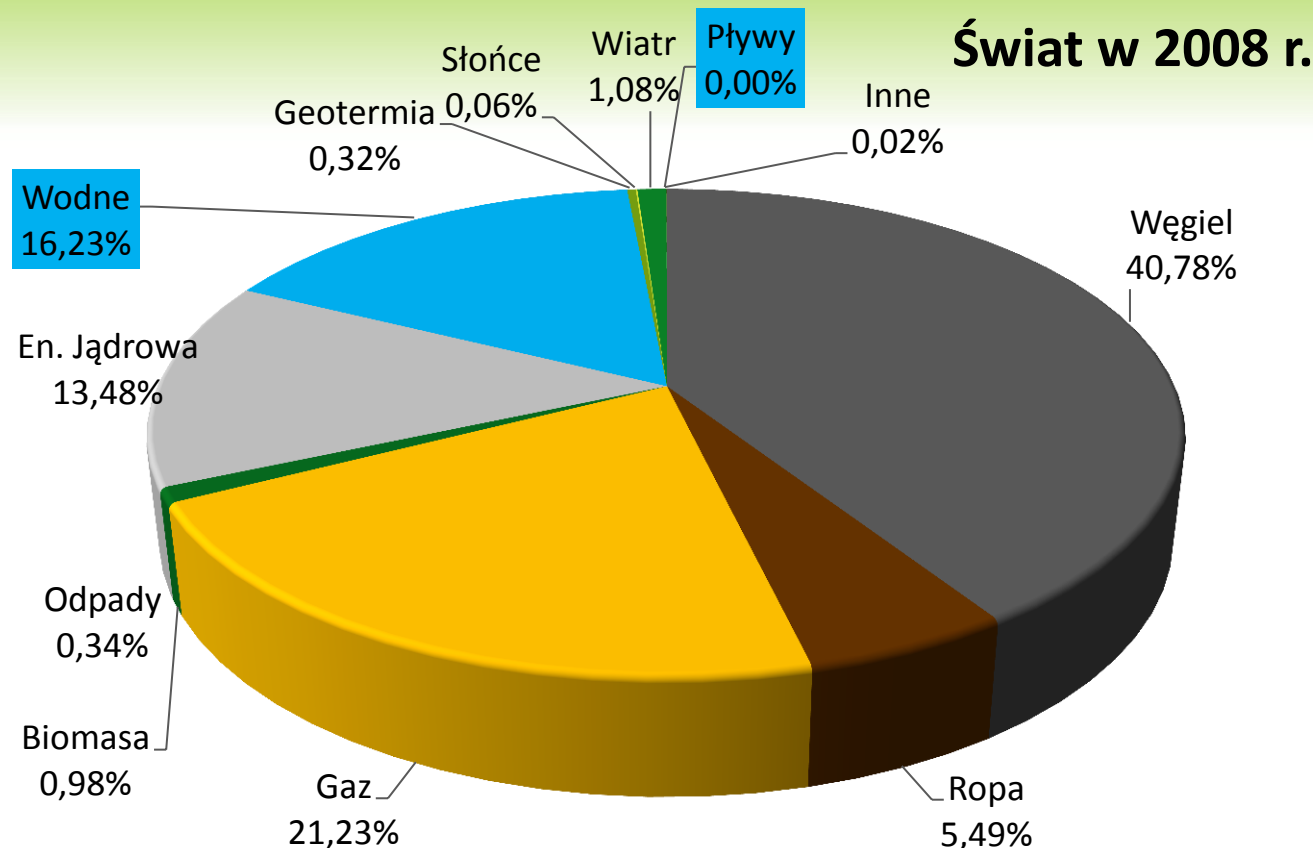
$g$  – przyspieszenie grawitacyjne ( $\text{m}/\text{s}^2$ )

$h$  – spad(m)

$\eta$  – sprawność turbiny

# ZASTOSOWANIE

# WYTWARZANIE ENERGII ELEKTRYCZNEJ

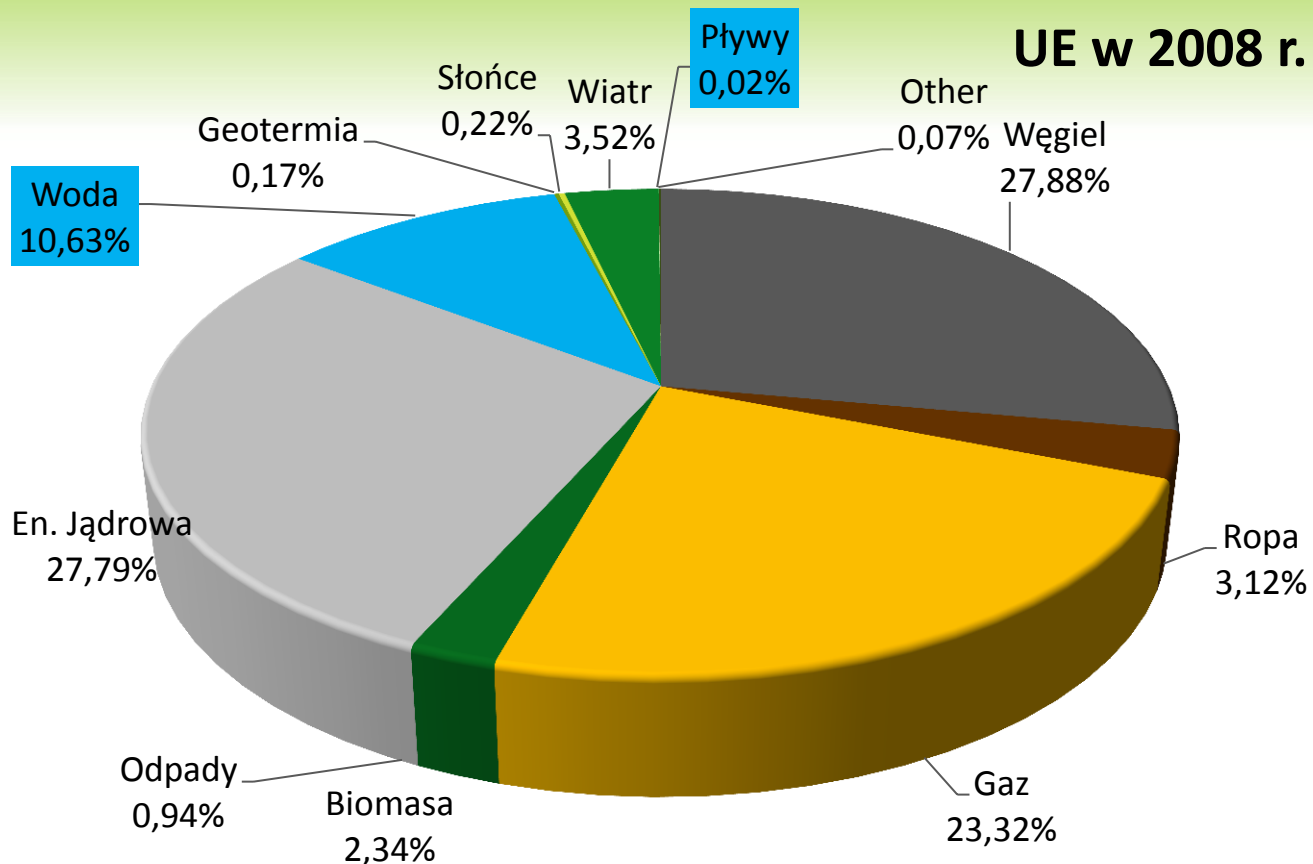


Dane za:



Konwencjonalne wodne: 3 287 554 GWh (w tym szczytowo-pompowe!)  
 Pływowe: 546 GWh  
 Łączna globalna produkcja w 2008: 20 260 838 GWh.

# WYTWARZANIE ENERGII ELEKTRYCZNEJ

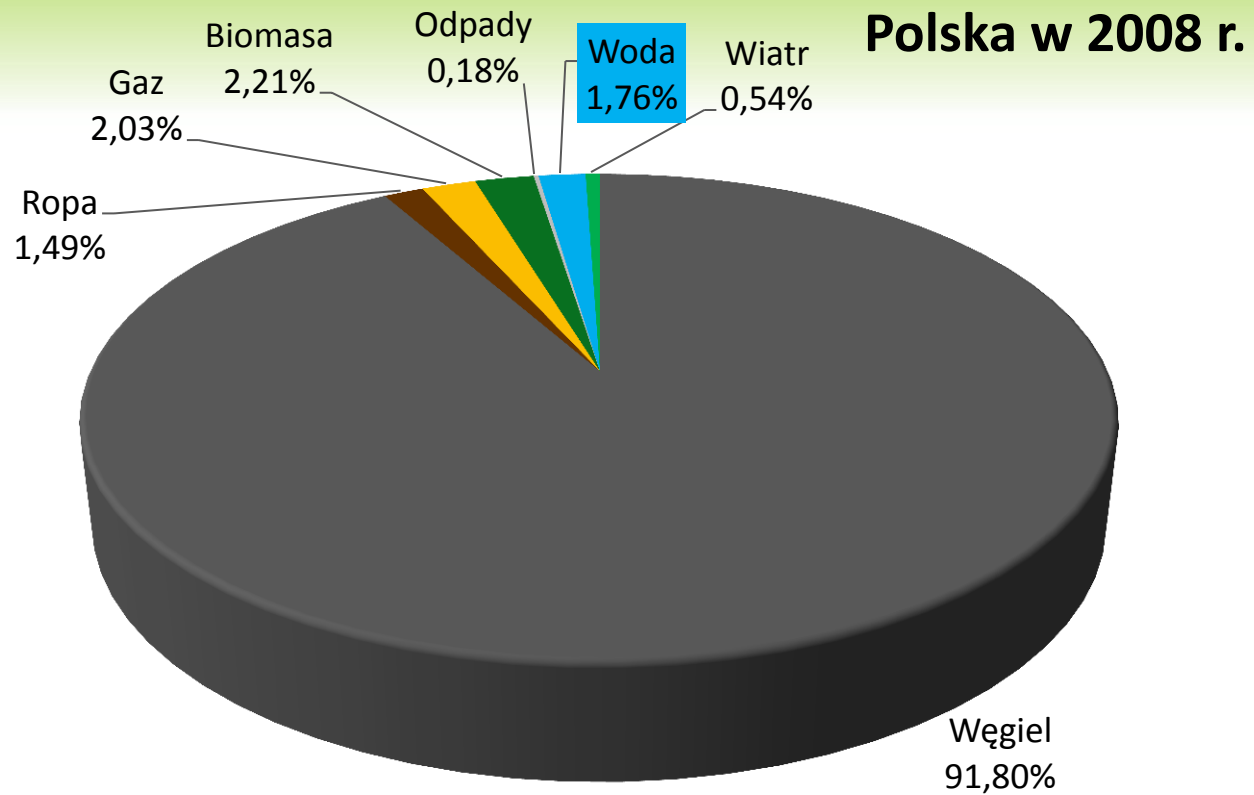


Dane za:



Konwencjonalne wodne: 358 672 GWh (w tym szczytowo-pompowe!)  
 Pływowe: 513 GWh  
 Łączna produkcja w UE w 2008: 3 373 072 GWh.

# WYTWARZANIE ENERGII ELEKTRYCZNEJ



Dane za:



Wodne konwencjonalne: 2747 GWh (w tym szczytowo pompowe!)  
Pływowe: BRAK  
Łączna produkcja w 2008: 156,177 GWh.

# ENERGETYKA WODNA

## Top 10 (2009)

Kraj	Produkcja [GWh/a]	Moc zainstalowana [GW]	Wsp. wykorzystania mocy	Udział w całkowitej mocy [%]
Chiny	652,0	196,790	0,37	22,25
Kanada	369,5	88,974	0,59	61,12
Brazylia	363,8	69,080	0,56	85,56
USA	250,6	79,511	0,42	5,74
Rosja	167,0	45,000	0,42	17,64
Norwegia	140,5	27,528	0,49	98,25
Indie	115,6	33,600	0,43	15,80
Wenezuela	86,0	14,622	0,67	69,20
Japonia	69,2	27,229	0,37	7,21
Szwecja	65,5	16,209	0,46	44,34
...				
© Polska	3,0	2,2	0,15	6,22

# NAJWIĘKSZE ELEKTROWNIE WODNE ŚWIATA

## Zbiornikowe

- Zapora Trzech Przełomów, Jangcy, ChRL – 22 500 MW
- Zapora Itaipu, Paraná, Brazylia-Paragwaj – 14 000 MW
- Zapora Guri, Caroni, Wenezuela – 10 235 MW

## Przepływowe

- Jinping II, Yalong Jiang , ChRL – 4800 MW
- Chief Joseph Dam, Columbia River, WA, USA – 2620 MW
- John Day Dam, Columbia River, OR-WA, USA – 2485 MW

## Szczytowo-pompowe

- Kannagawa, Japonia – 940 MW (2012, 2820 MW do 2020)
- Bath County Pumped Storage Station, VA, USA – 2772 MW
- Guangdong, ChRL, 2400 MW

# ZAPORA TRZECH PRZEŁOMÓW

## Zapora ciężka na rzece Jangcy

- Długość 2335 m
- Wysokość 185 m

## Zbiornik

- Maks. rzędna wody 175 m n.p.m.
- Powierzchnia 1045 km<sup>2</sup>
- Objętość 39,3 km<sup>3</sup>

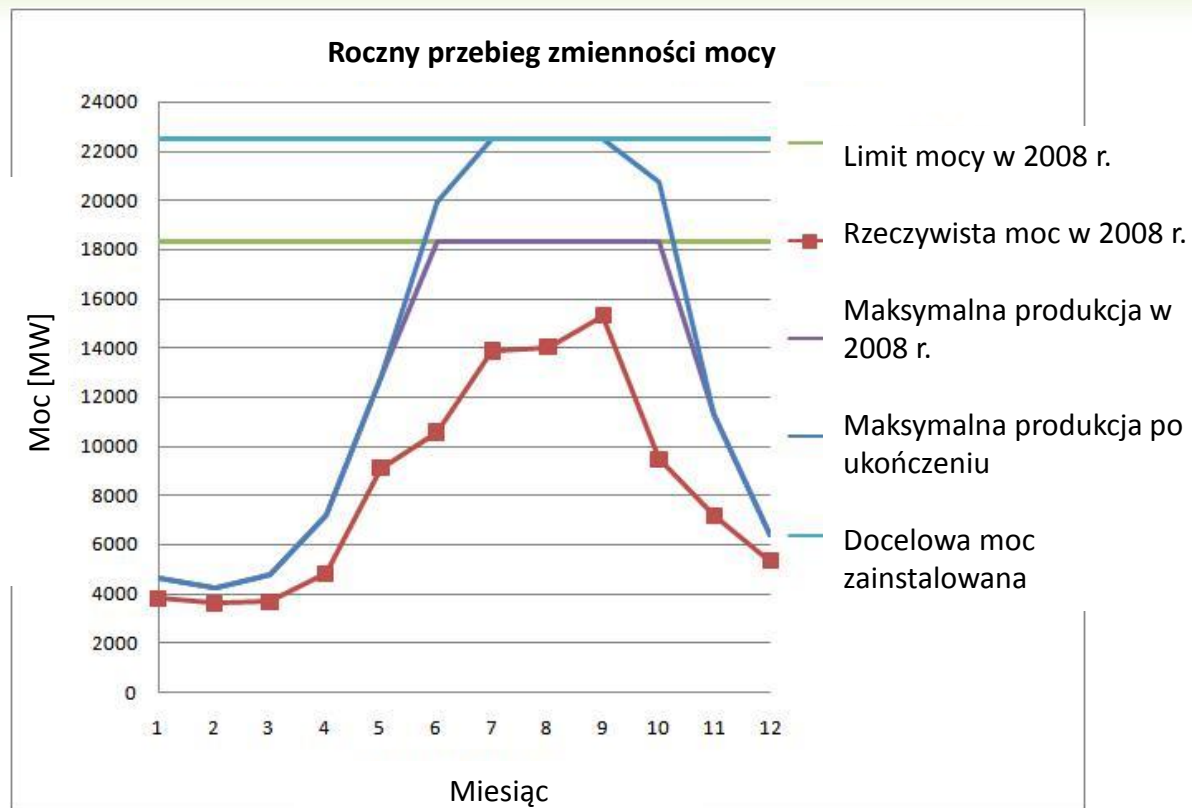
## Elektrownia

- Trzy maszynownie: na końcach zapory oraz podziemna na pld. od niej
- Turbiny Francisa  $30 \times 700$  MW produkcji VGS i Alstomu  
Średnica wirnika 9,7 m (VGS) / 10,4 m (Alstom), 75 obr./min  
Sprawność 94% (średnia), 96,5% (maksymalna)
- $2 \times 50$  MW turbiny Francisa na potrzeby własne
- Spad znamionowy 80,6 m, przepływ  $600 \div 950$  m<sup>3</sup>/s

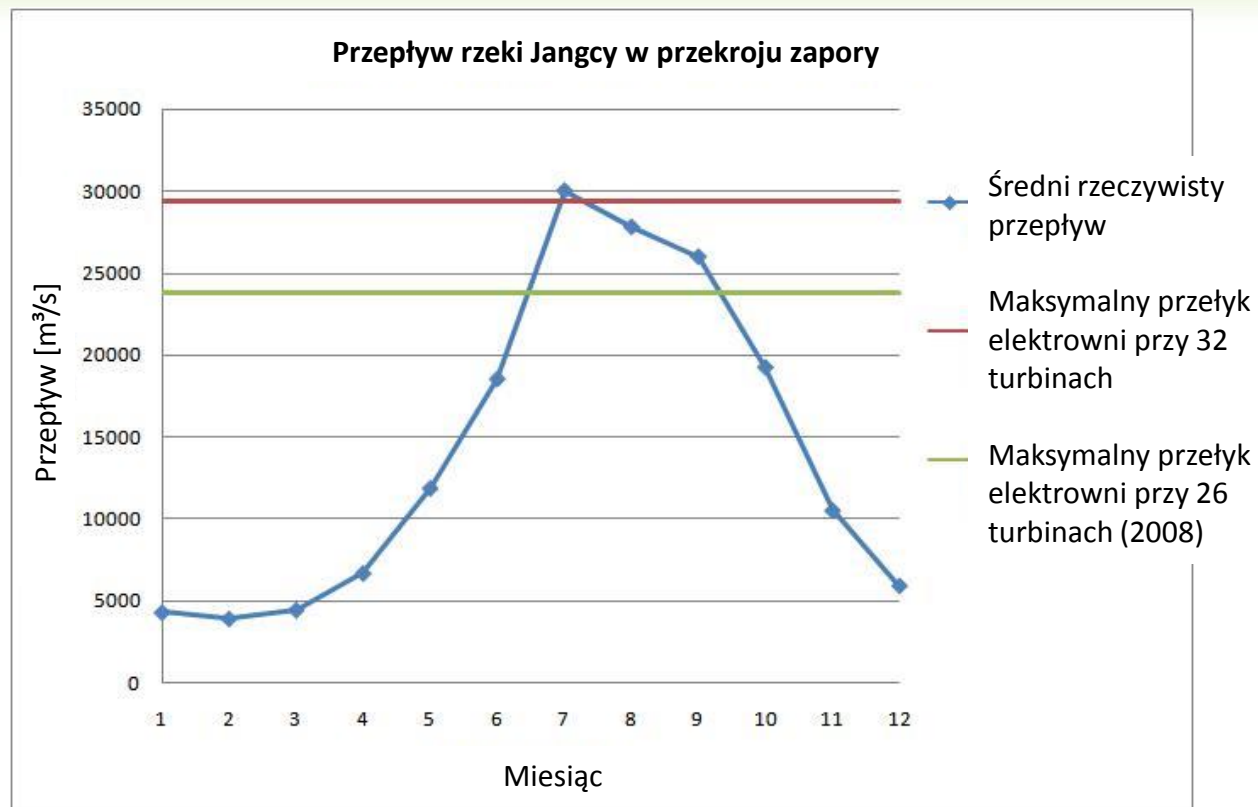
# ZAPORA TRZECH PRZEŁOMÓW



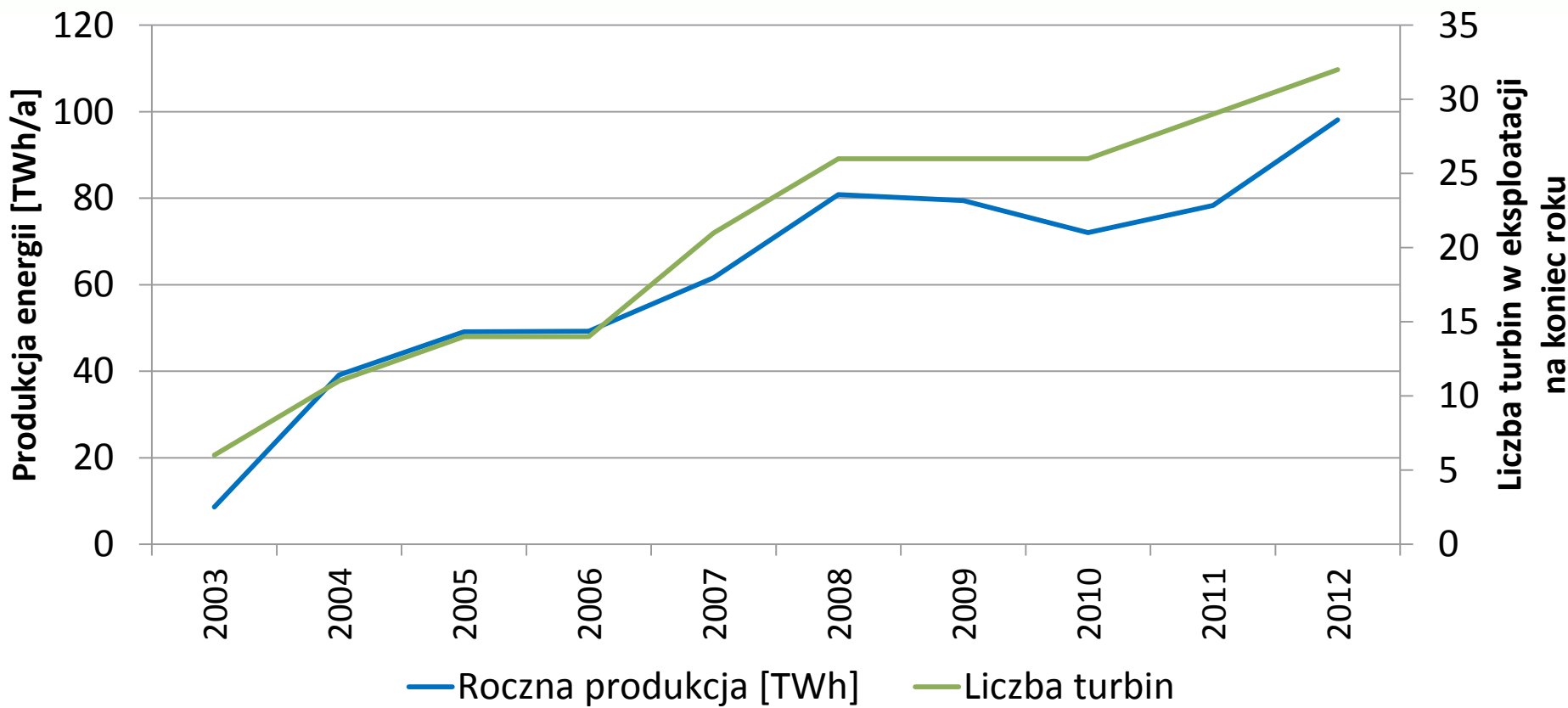
# ZAPORA TRZECH PRZEŁOMÓW



# ZAPORA TRZECH PRZEŁOMÓW



# ZAPORA TRZECH PRZEŁOMÓW



# ZAPORA ITAIPU

## Zapora ciężka na rzece Paraná

- Długość 7235 m
- Wysokość 196 m

## Zbiornik

- Pojemność 29 km<sup>3</sup>
- Spiętrzenie 118 m

## Elektrownia

- Turbiny Francisa 20 × 700 MW (po 10 dla Brazylii i Paragwaju)  
Moc osiągalna turbiny do 750 MW
- Znamionowy przepływ dla turbiny 700 m<sup>3</sup>/s
- Uruchomiona w 1984 r., obecna moc od 2007 r.
- Roczna produkcja ok. 90 TWh (wsp. wykorzystania mocy 75%)

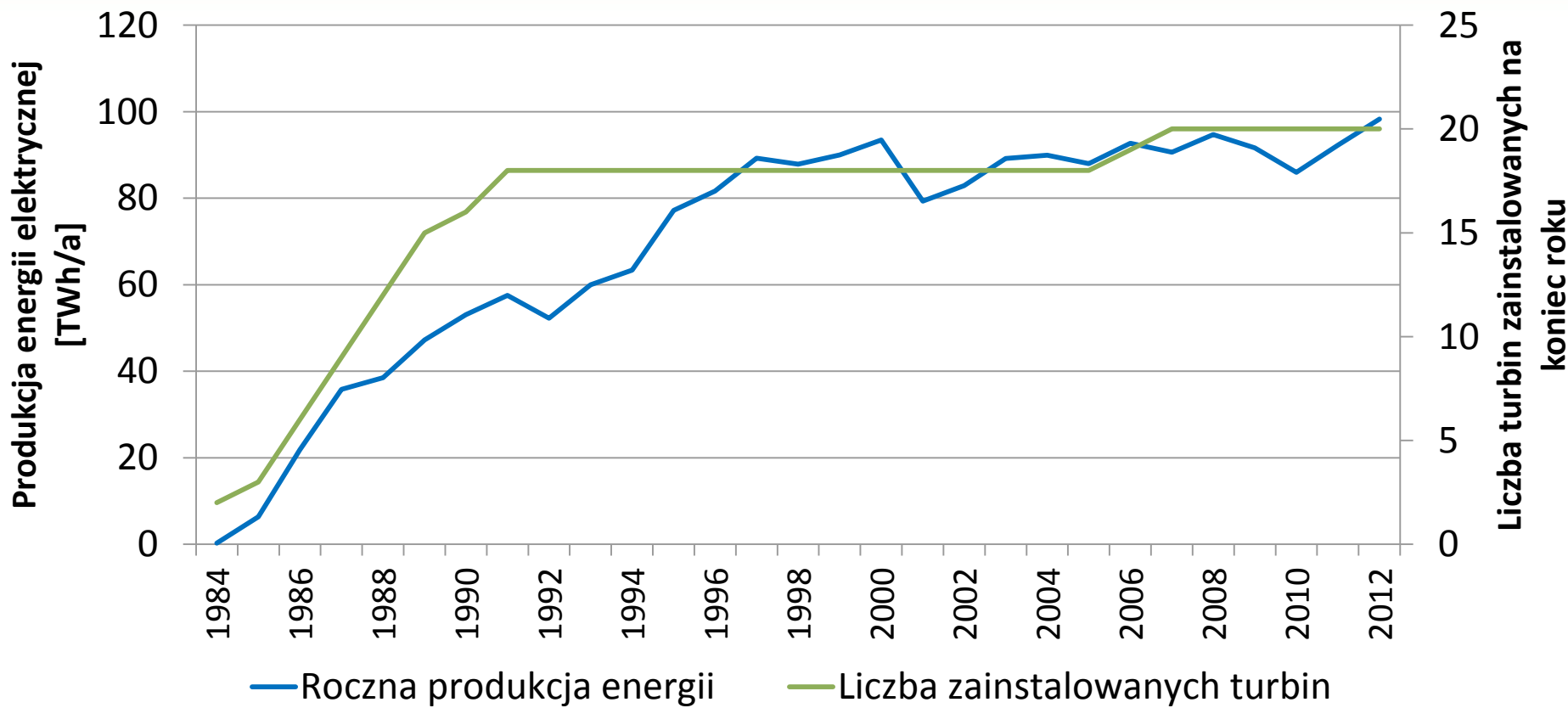
# ZAPORA ITAIPU



# ZAPORA ITAIPU



# ZAPORA ITAIPU



# KOMPLEKS CLEUSON-DIXENCE SZWAJCARIA

## Zapora ciężka Grande Dixence

- Długość 5,3 km
- Wysokość 285 m – najwyższa zapora ciężka świata

## Zbiornik – Lax de Dix (Jezioro Dix)

- Pojemność 0,4 km<sup>3</sup>

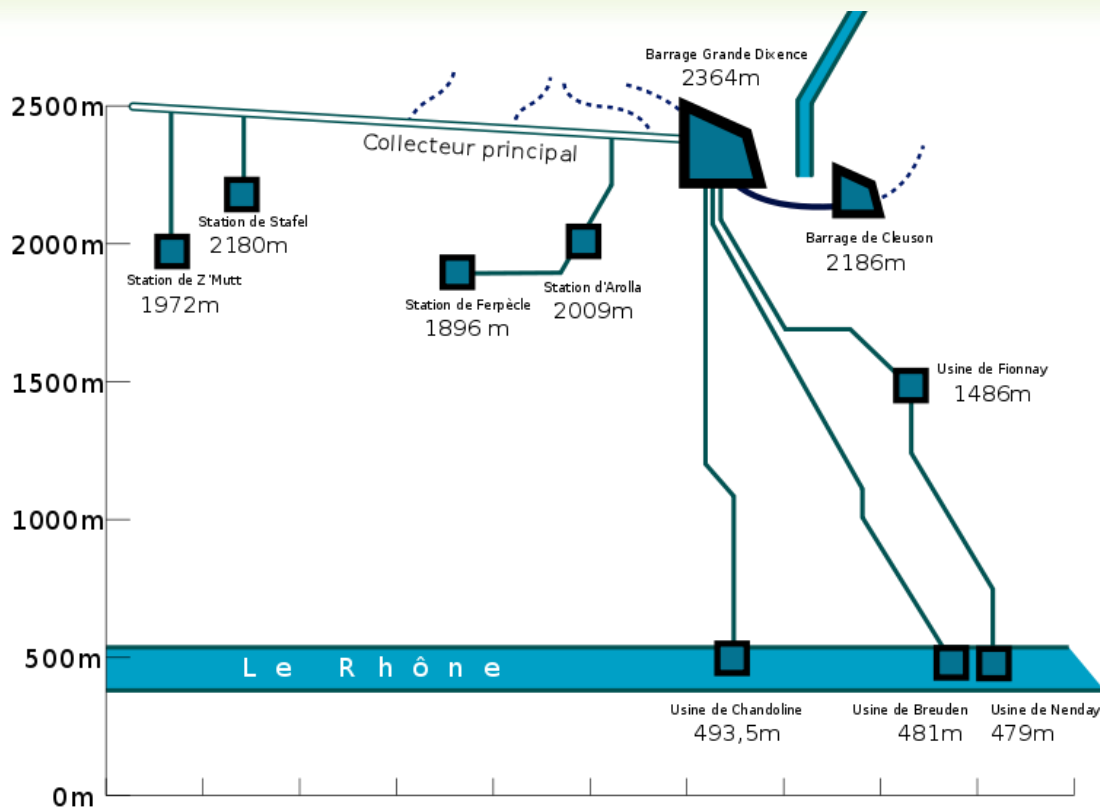
## Elektrownie

- Chandoline, 120 MW (5 turbin Peltona)
- Fionnay, 290 MW (6 dwuwirnikowych turbin Peltona)  
Spad 874 m, maks. przepływ 45 m<sup>3</sup>/s
- Nendaz, 390 MW (6 dwuwirnikowych turbin Peltona)  
Spad 1008 m, maks. przepływ 45 m<sup>3</sup>/s
- Biedron, 1269 MW (3 turbiny Peltona)  
Spad 1869 m, maks. przepływ 45 m<sup>3</sup>/s, sprawność 92,37%

## Stacje pomp

- Z'mutt, Stafel, Ferpècle, Arolla – pompowanie wody z lodowców do Lax de Dix

# KOMPLEKS CLEUSON-DIXENCE SZWAJCARIA



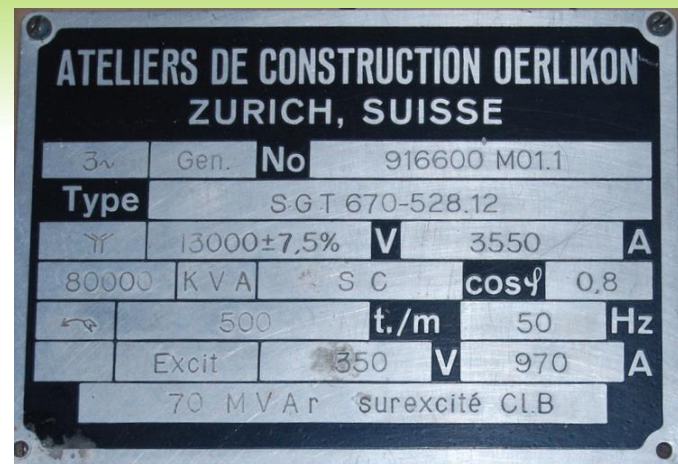
# ZAPORA GRANDE DIXENCE



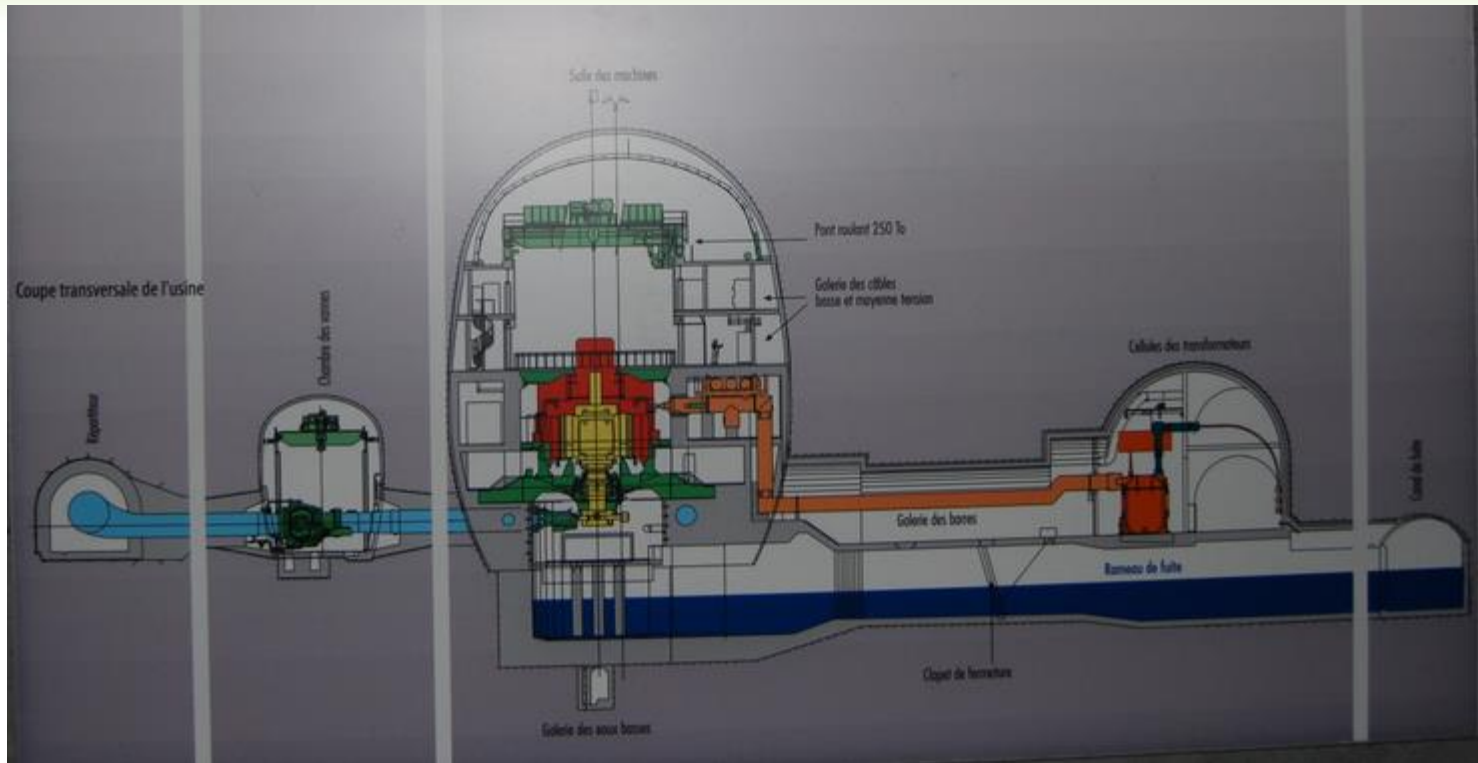
# USINE DE NENDAZ



# USINE DE NENDAZ



# USINE DE BIEUDRON



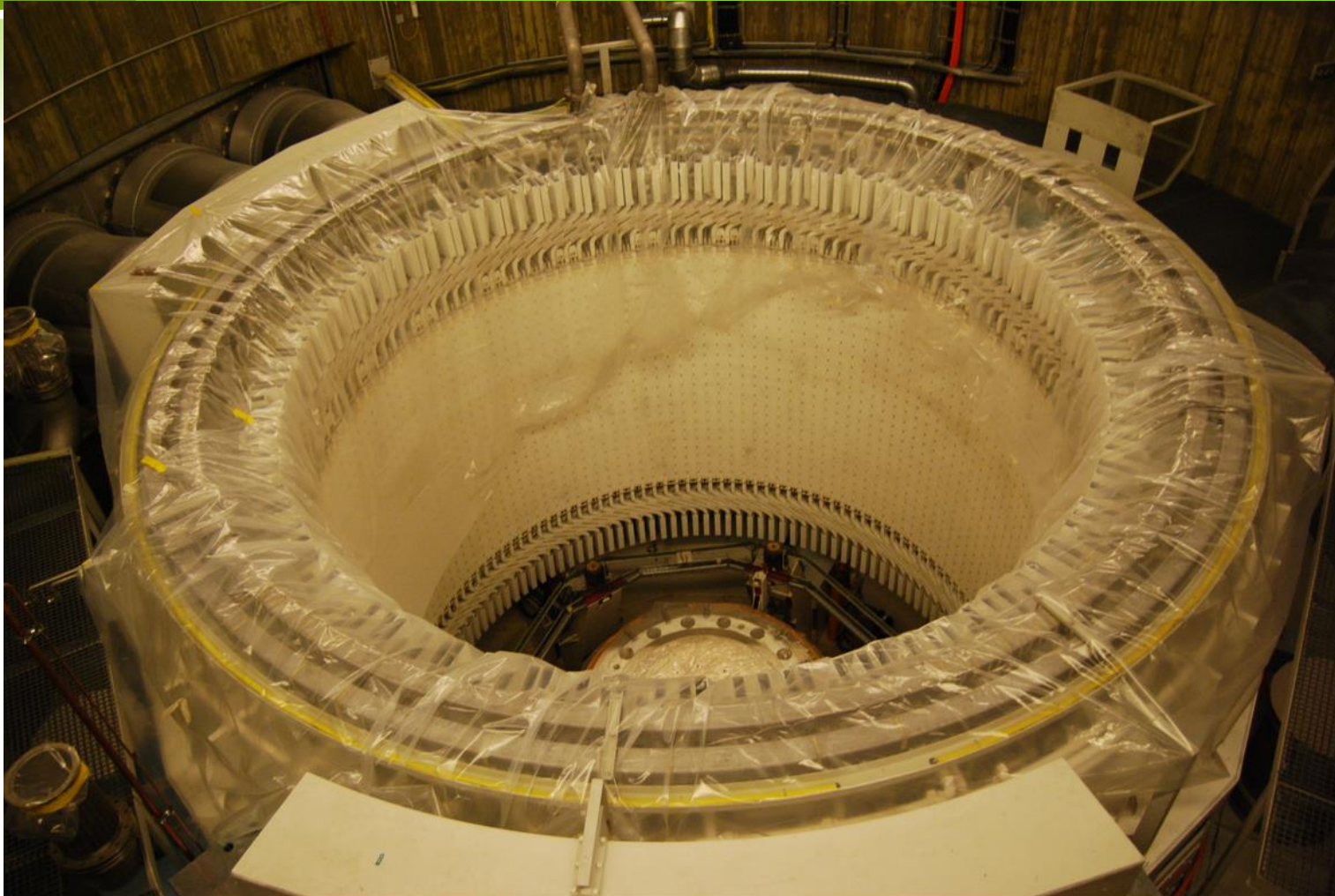
# USINE DE BIEUDRON



# USINE DE BIEUDRON



# USINE DE BIEUDRON



# ENERGETYKA WODNA W POLSCE (09.2012)

## Elektrownie przepływowe

- > 50 MW: 1 instalacja, Włocławek, 160,2 MW
- 10-50 MW: 5 instalacji, 129,6 MW
- 5-10 MW: 6 instalacji, 48,2 MW
- 1-5 MW: 61 instalacji, 138,7 MW
- 0,3-1 MW: 90 instalacji, 54,6 MW
- < 0,3 MW: 599 instalacji, 44,1 MW

## Elektrownie zbiornikowe z turbozespołami odwracalnymi

- Dychów, 91,3 MW
- Niedzica, 92,75 MW
- Solina, 198,6 MW

## Elektrownie szczytowo-pompowe

- Żarnowiec, 716 MW
- Porąbka-Żar, 500 MW
- Żydowo, 156 MW

# ELEKTROWNIA WODNA ŻARNOWIEC

## Zbiornik górny - Czymanowo

- Powierzchnia 122 ha
- Pojemność 13 mln m<sup>3</sup>

## Zbiornik dolny – Jezioro Żarnowieckie

## Elektrownia

- 4 pompo-turbiny Francisa
- Moc pompowania  $4 \times 200$  MW
- Moc wytwórcza  $4 \times 179$  MW
- Sterowanie z KDM
- Uruchomiona w 1983 r., planowana współpraca z EJ

# ELEKTROWNIA WODNA ŻARNOWIEC



# ELEKTROWNIA WODNA WE WŁOCŁAWKU

## Zapora na Wiśle

- Spiętrzenie 8,8 m

## Zbiornik – Jezioro Włocławskie

- Długość 58 km, średnia szerokość 1,2 km
- Pojemność 408 mln m<sup>3</sup>

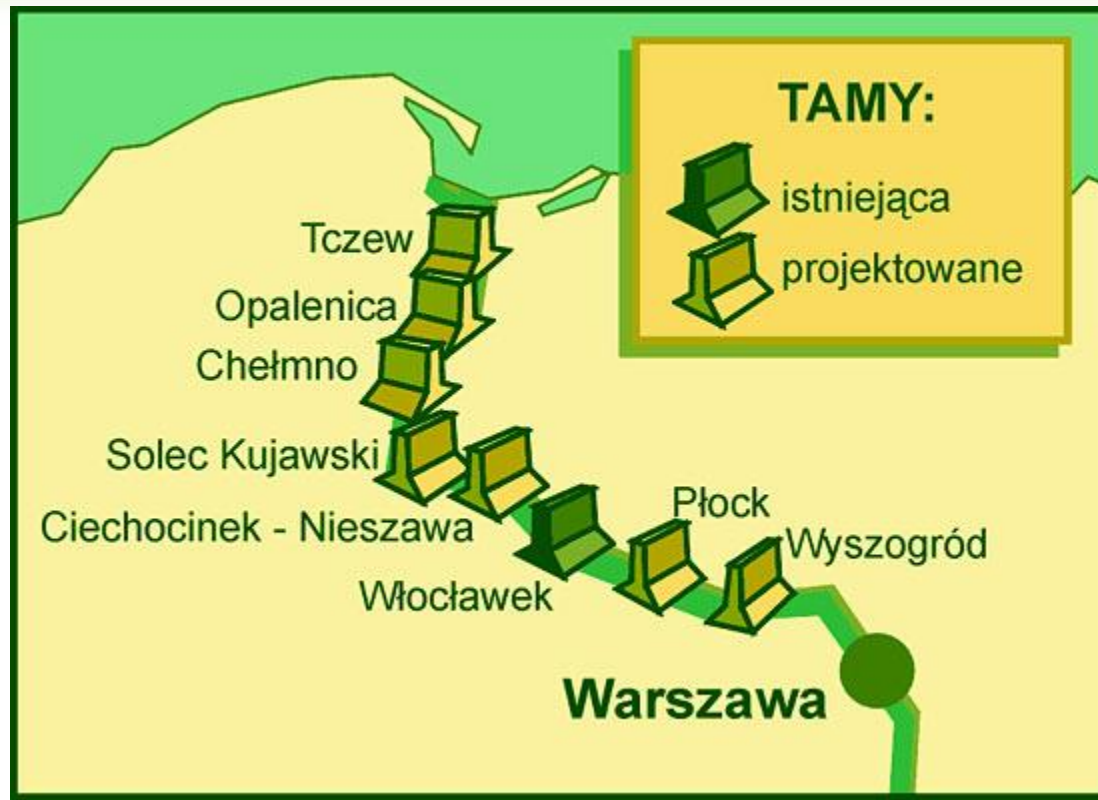
## Elektrownia

- 6 turbin Kaplana, 160,2 MW
- Przełyk znamionowy 2190 m<sup>3</sup>/s, spad 8,80 m
- Średnia produkcja 739 GWh/a
- Rok uruchomienia: 1970

# ELEKTROWNIA WODNA WE WŁOCŁAWKU



# KASKADA DOLNEJ WISŁY (PLAN ORYGINALNY)



# ZEW SOLINA MYCZKOWCE

## Dwie zapory na rzece San

- Solina, zapora ciężka, górska  
Długość, 664,8 m, wysokość 81,8 m
- Myczkowce, zapora ziemna, dolna  
Długość 386,0 m, wysokość 17,5 m  
Stabilizacja przepływu rzeki zakłóconego pracą EW Solina

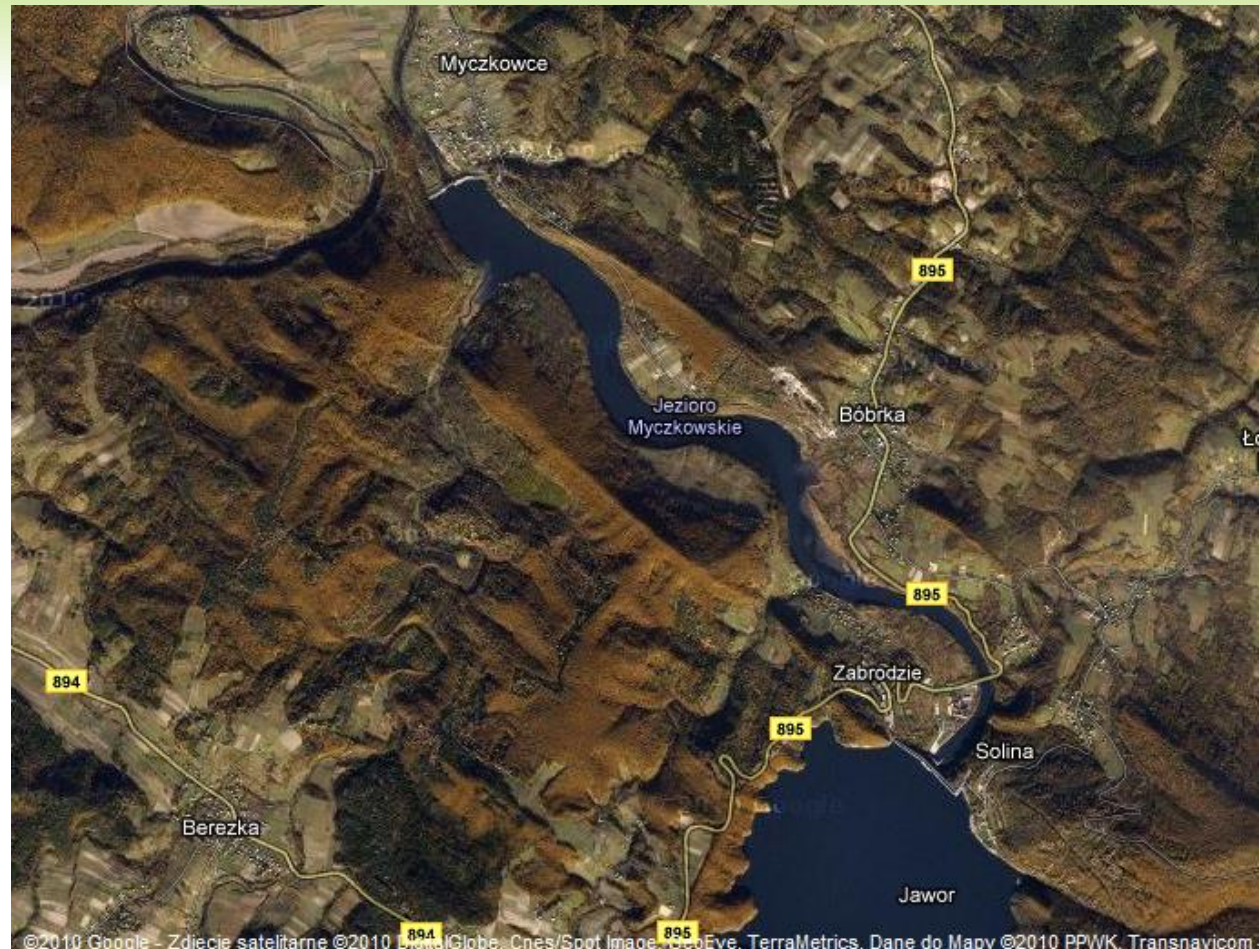
## Dwa zbiorniki

- Jezioro Solińskie
- Jezioro Myczkowskie

## Dwie elektrownie

- EW Solina – 198,6 MW, 4 turbiny Francisa  
Możliwość pracy pompowej (2 turbiny odwracalne)
- EW Myczkowce - 8,3 MW, 2 turbiny Kaplana –  
– elektrownia przepływowa

# ZEW SOLINA MYCZKOWCE



# ZAPORA W SOLINIE



# ENERGETYKA WODNA A ŚRODOWISKO

# ENERGETYKA WODNA

Czysta...

- brak emisji substancji szkodliwych podczas pracy

...ale niekoniecznie przyjazna środowisku

- budowa zapory
- tworzenie zbiornika – zalewanie gruntów
- zmiany w ekosystemach wodnych
- zmiany w ekosystemach lądowych (brzegi rzeki)
- ryzyko przerwania zapory

# PRZEPŁAWKA DLA RYB JOHN DAY DAM, USA





Photo Date: 08/2005



Photo Date: 08/2006

# TAUM SAUK HYDROELECTRIC PS

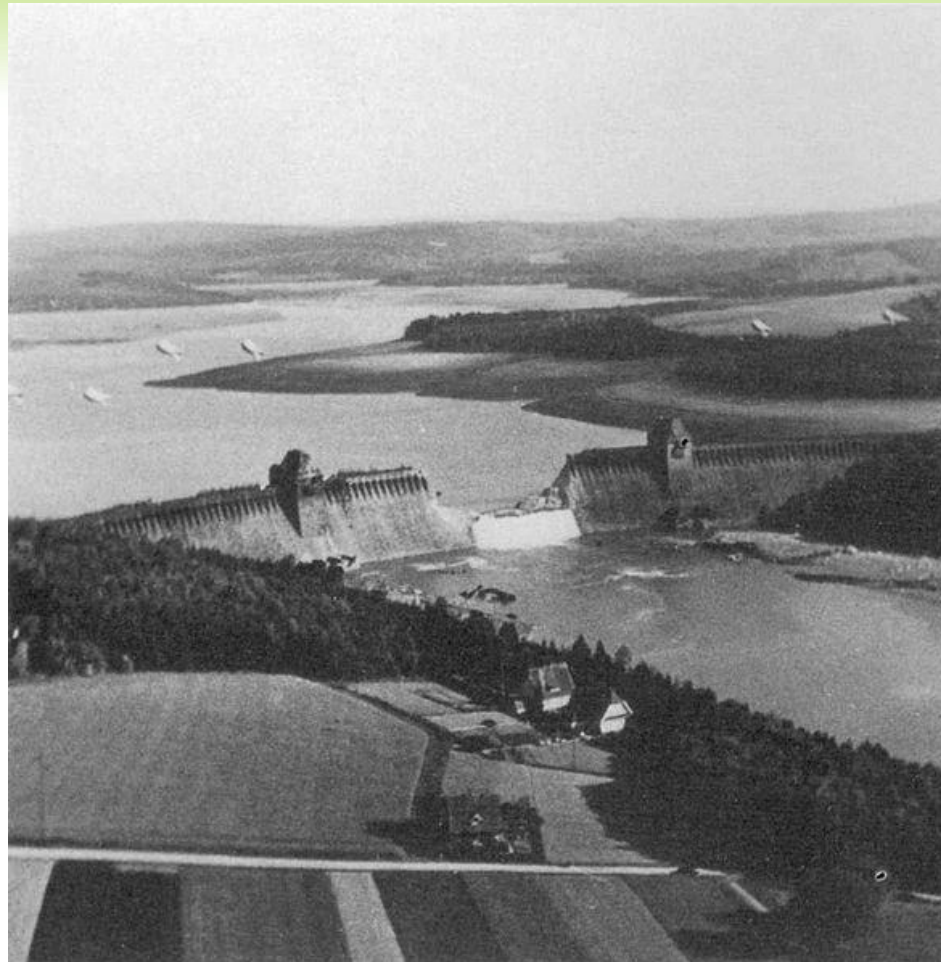
- ◎ Elektrownia szczytowo-pompowa w stanie Missouri, USA  $2 \times 250$  MW
- ◎ Sztuczny zbiornik górny niezasilany naturalnymi ciekami wodnymi
- ◎ 14.12.2005. przepełnienie zbiornika wskutek błędu oprogramowania
- ◎ Ściany zbiornika osłabione w wyniku wcześniejszych przecieków
- ◎ Powstanie wyrwy w części pół-zach.

# TAUM SAUK HYDROELECTRIC PS



# ZNISZCZENIE ZAPORY MÖHNE PRZEZ SAMOLOTY RAF, 16/17 V 1943

Działanie celowe  
1579 ofiar  
śmiertelnych



# SAJANO-SUSZENSKAJA EW

## 17 VIII 2009



- ◎ Zapora na rzece Jenisej
- ◎  $10 \times 640 \text{ MW}$



# SAJANO-SUSZENSKAJA EW

## 17 VIII 2009

Wirnik turbiny wybity do maszynowni

Zalanie maszynowni

Lokalny blackout

Zamknięcie dopływu wody zaworami  
ręcznymi

75 ofiar śmiertelnych

# SAJANO-SUSZENSKAJA EW 17 VIII 2009



# ELEKTROWNIE MORSKIE

# ŹRÓDŁA ENERGII NA MORZU

Pływy

Prądy

Fale

Gradienty zasolenia

Gradienty temperatur

# ŽRÓDŁA ENERGII NA MORZU POTENCJAŁ TEORETYCZNY

Typ	Moc [GW]	Roczna produkcja [TWh]
Fale	1000-9000	8 000-80 000
Prądy morskie	5000	50 000
Maretermiczne	1000	10 000
Pływowe	90	800
Osmotyczne	20	2 000

Dane za:



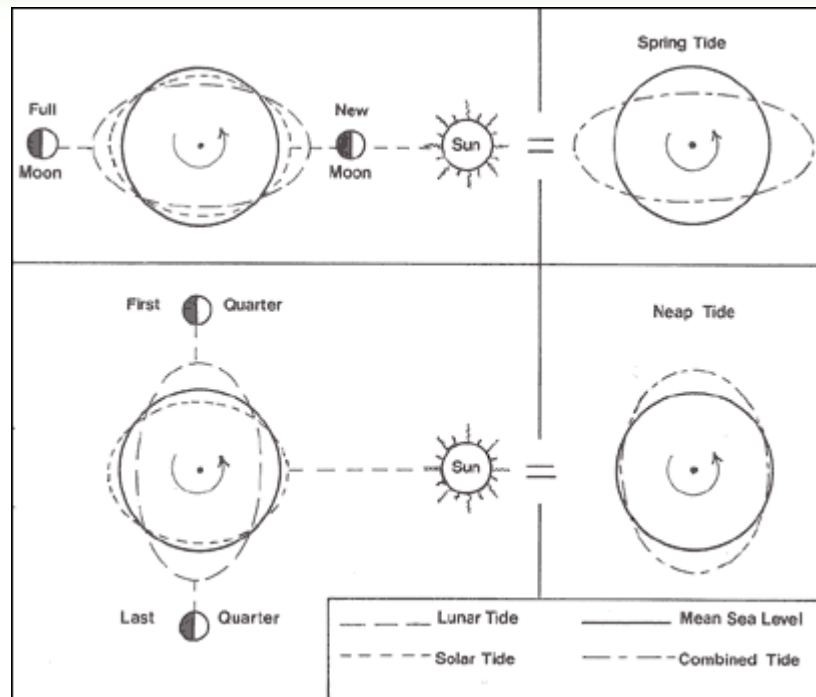
# PŁYWY



# PŁYWY SYZYGIJNE I KWADRATUROWE

Pływ syzygijny

Pływ kwadraturowy

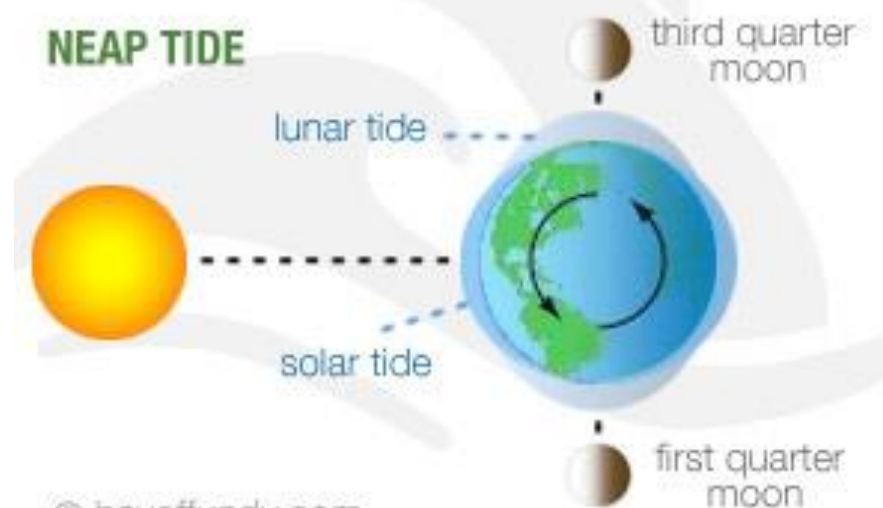


# PŁYWY SYZYGIJNE I KWADRATUROWE

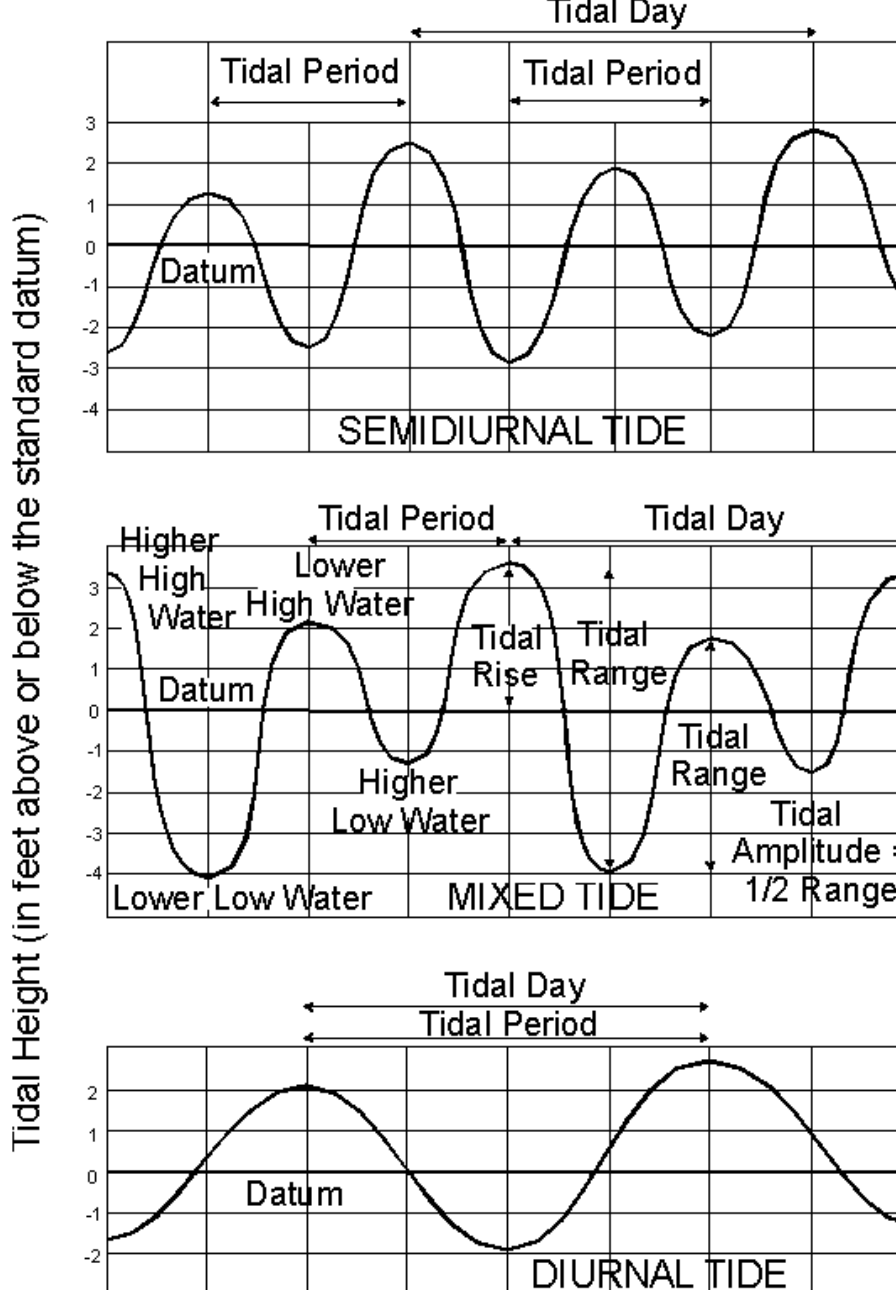
Pływ syzygijny



Pływ kwadraturowy



## Distribution of Tidal Phases



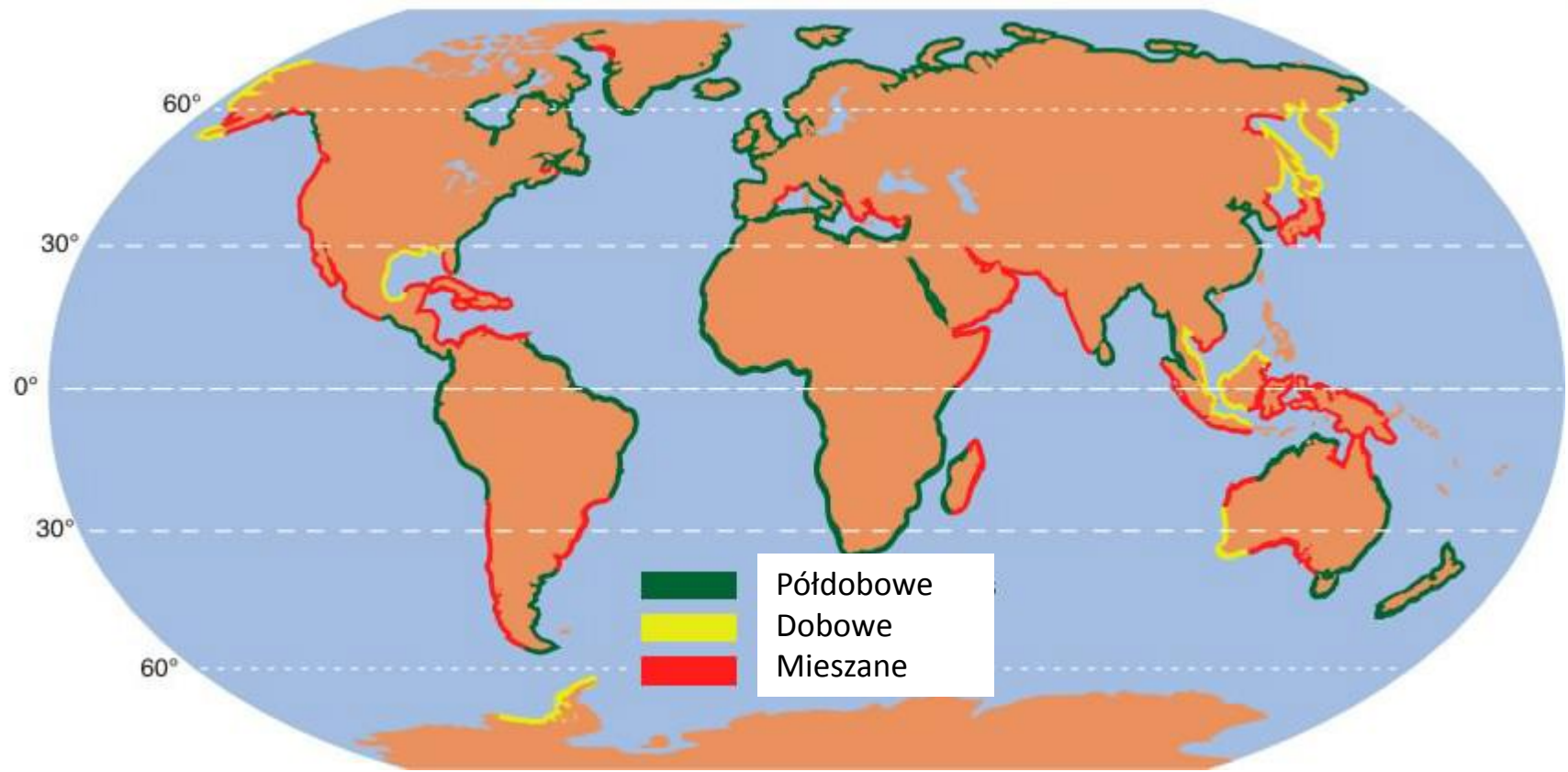
# PŁYWY

Półdobowe

Mieszane

Dobowe

# PŁYWY



# WYKORZYSTANIE HISTORYCZNE MŁYNY PŁYWOWE



# ENERGETYKA PŁYWOWA

## Strumieniowe

- Bezpośrednie wykorzystanie ruchu wody

## Z zaporami

- Zapora w ujściu rzeki lub fiordu

## Dynamic Tidal Power (DTP)

- Zapora w kształcie litery T wykorzystująca postępowanie pływu wzduż wybrzeża

# ELEKTROWNIA PŁYWOWA Z ZAPORĄ

Energia kinetyczna wody



Energia potencjalna wody



Energia mechaniczna



Energia elektryczna

# ELEKTROWNIE PŁYWOWE Z ZAPORĄ

## Zapora

- Przegroda w ujściu rzeki lub zatoki

## Śluzy

- Umożliwienie napełnienia lub opróżniania zbiornika bez pracy turbin

## Turbiny

# PRACA ELEKTROWNI PŁYWOWEJ

## Praca w czasie odpływu

- Napełnianie zbiornika w czasie przypływu przez śluzy, zamknięcie śluz przy wodzie wysokiej
- Praca turbin w czasie odpływu dzięki powstałej różnicy poziomów

## Praca w czasie przypływu

- Napełnianie zbiornika w czasie przypływu przez turbiny
- Mniejsza efektywność:
  - Mniejsza pojemność zbiornika w czasie, gdy różnica poziomów jest duża
  - Woda napływająca rzeką redukuje spad

## Praca szczytowo-pompowa

## Synergia dwóch zbiorników (teoria)

- Dwa zbiorniki – jeden napełniany w czasie przypływu, drugi opróżniany w czasie odpływu
- Skomplikowana i bardzo kosztowna budowa (zapora wzdłuż zbiornika?)
- Duża elastyczność – możliwość utrzymania ciągłej różnicy poziomów



# USINE MARÉMOTRICE DE LA RANCE

## Pierwsza elektrownia pływowa na świecie

- Początek budowy: 1963
- Uruchomienie: 1967
- Koszt: 620 mln FRF
- Właściciel: EdF

## Lokalizacja

- Ujście rzeki Rance, Bretania
- Średni skok pływu: 8 m

## Technologia

- Zapora długości 750 m (elektrownia na odcinku 332,5 m)
- Basen pływowy o pow. 22,5 km<sup>2</sup>
- Moc zainstalowana: 240 MW<sub>el</sub> ( $24 \times 10$  MW<sub>el</sub>)  
(do końca XX w. największa na świecie)
- Roczna produkcja energii elektrycznej: 600 GWh
- Współczynnik wykorzystania mocy zainstalowanej: 0,28

# USINE MARÉMOTRICE DE LA RANCE

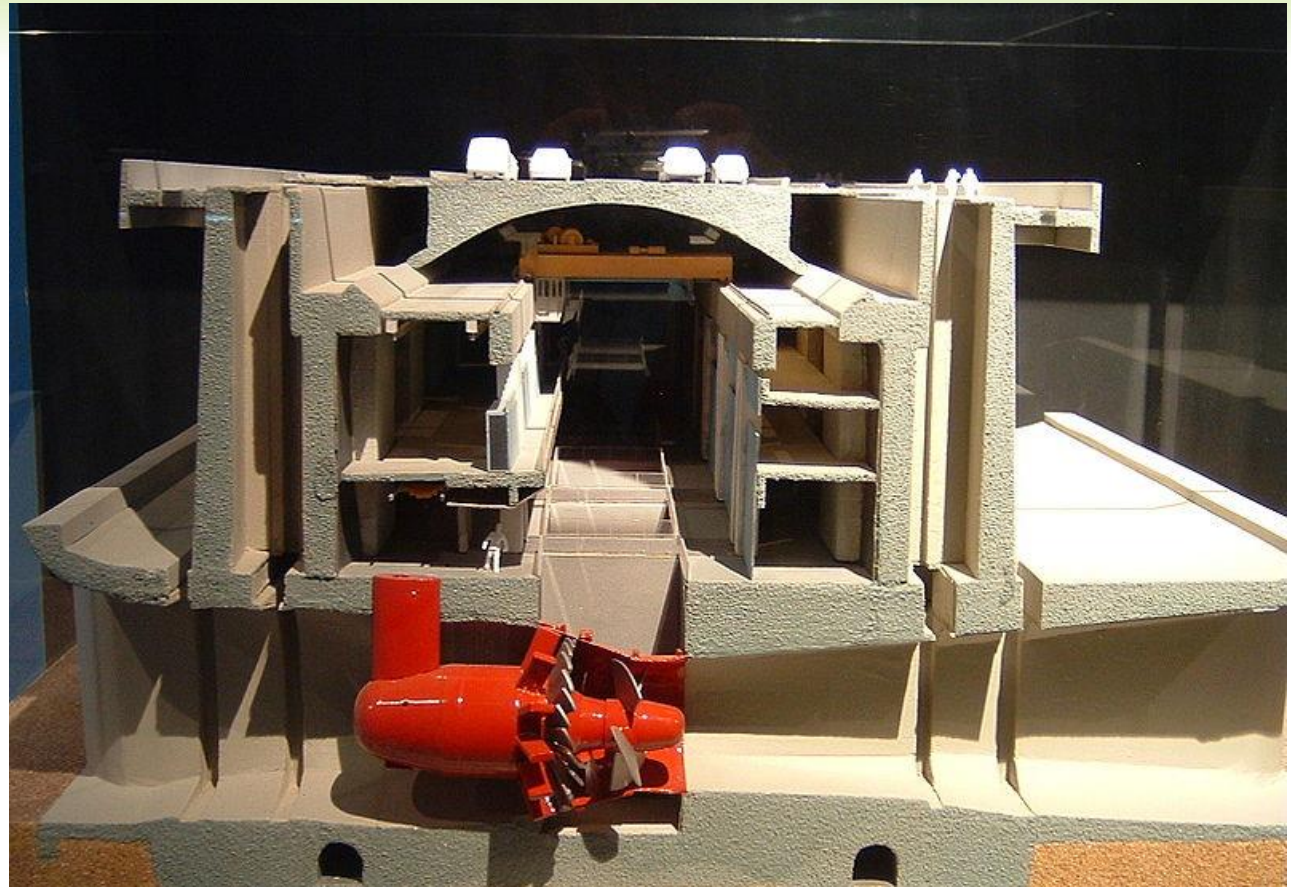




# USINE MARÉMOTRICE DE LA RANCE



# USINE MARÉMOTRICE DE LA RANCE



# KISŁOGUBSKAJA PES

## Elektrownia pływowa w ujściu fiordu

- Uruchomiona w 1968 r.
- W 1994 r. wycofana z eksploatacji z powodów finansowych
- W XXI w. przekształcona w stanowisko eksperymentalne dla nowych turbin

## Lokalizacja

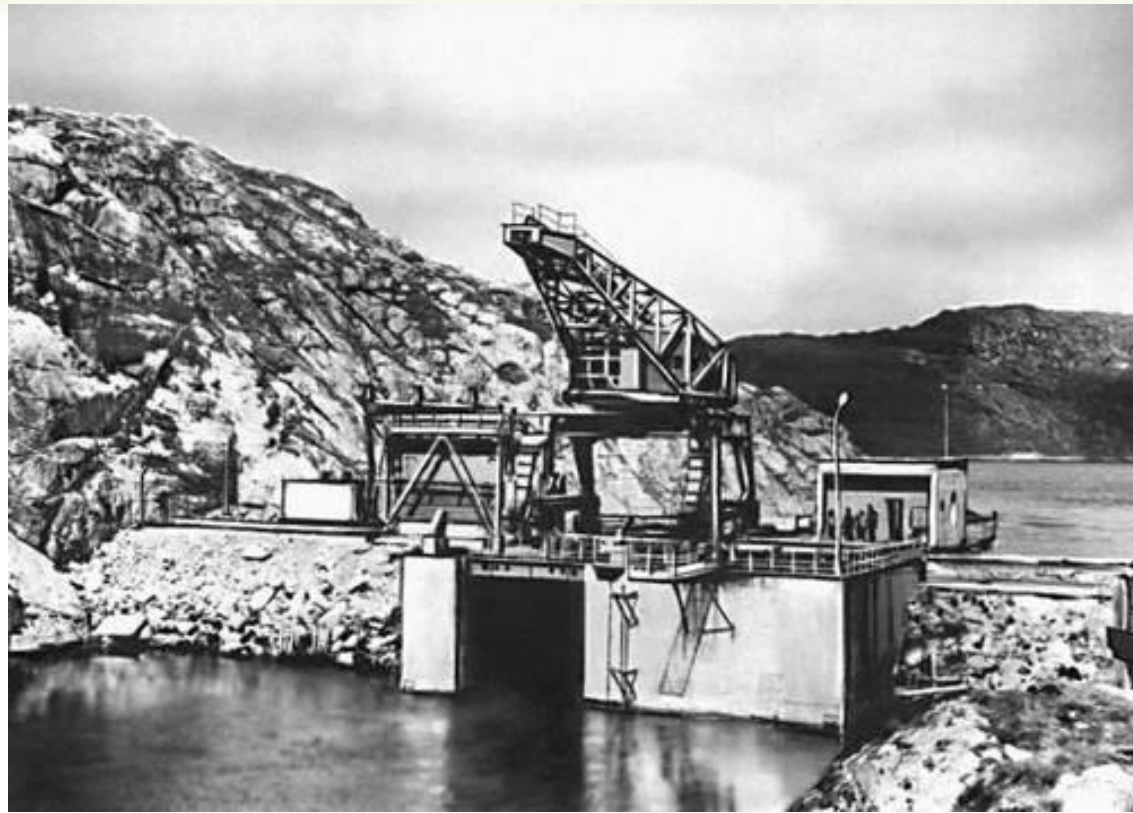
- Zatoka Kisłaja, Płw. Kolski, Morze Barentsa, Rosja

## Technologia

- Zapora w poprzek zatoki
- Planowane dwie turbiny:
  - $1 \times 400$  kW, francuska, zainstalowana 1996, zdemontowana po 1994
  - Druga konstrukcji radzieckiej, nigdy nie zrealizowana
- Produkcja energii 1968-1994: 8 018 MWh (wsp. wyk. mocy ok. 9%)
- Turbina 200 kW produkcji „PO Siewmasz” zainstalowana w 2004
- Turbina 1500 kW produkcji „PO Siewmasz” zainstalowana w 2006



# KISŁOGUBSKAJA PES



# ANNAPOlis ROYAL GENERATING STATION

## Informacje o inwestycji

- Rok uruchomienia: 1984
- Właściciel: Nova Scotia Power

## Lokalizacja

- rzeka Annapolis, w pobliżu Annapolis Basin, części Zatoki Fundy

## Technologia

- Zatoka w ujściu rzeki o długości 225 m
- Moc zainstalowana 20 MW<sub>e</sub> (1 turbina Kaplana)
- Roczna produkcja energii ok. 50 GWh
- Wsp. wykorzystania mocy zainstalowanej 29%



# ANNAPOolis ROYAL GENERATING STATION





# ELEKTROWNIA PŁYWOWA SIHWA LAKE

## Informacje o inwestycji

- Rok uruchomienia: 2011
- Posadowienie na falochronie zbud. 1994

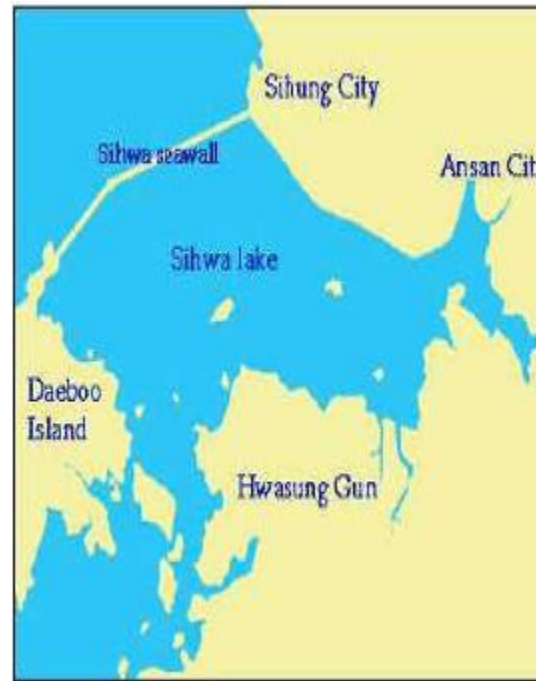
## Lokalizacja

- Zalew Sihwa, Prowincja Gyeonggi, Republika Korei

## Technologia

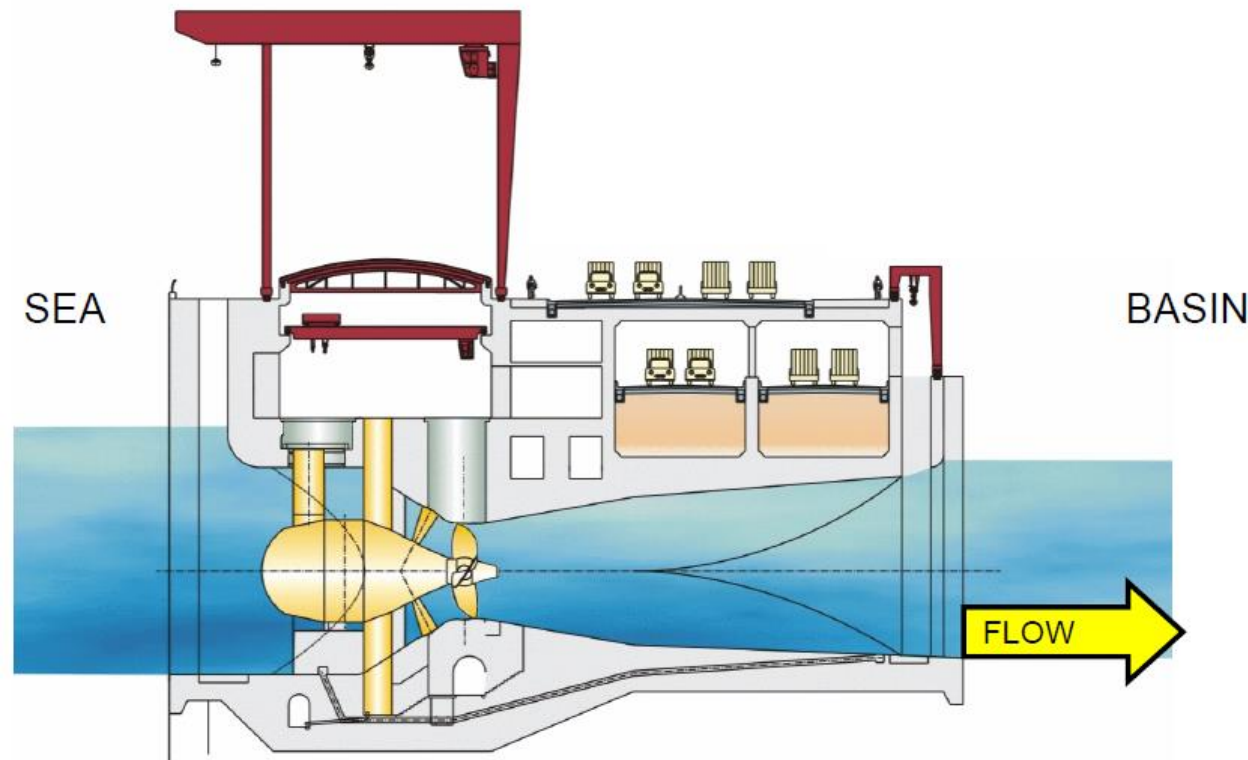
- Zapora długości 12,7 km
- Powierzchnia basenu roboczego: 56 km<sup>2</sup>
- Moc zainstalowana: 254 MW<sub>el</sub> (10 × 25,4 MW<sub>e</sub>, Kaplan)
- Praca podczas przypływu
- Średni skok pływu
- Planowana produkcja 550 GWh/a (wsp. wyk. mocy 25%)

# ELEKTROWNIA PŁYWOWA SIHWA LAKE

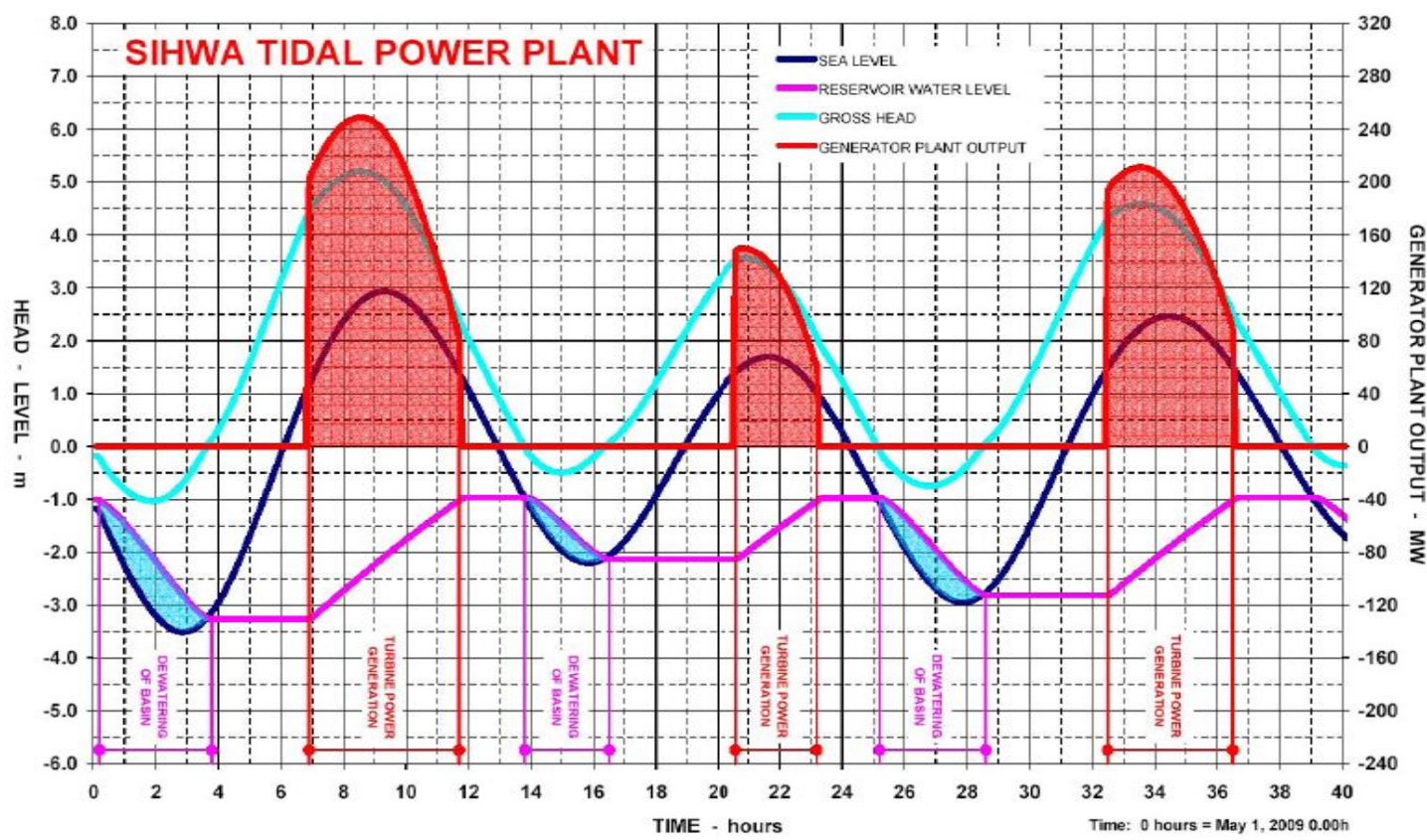




# ELEKTROWNIA PŁYWOWA SIHWA LAKE



# ELEKTROWNIA PŁYWOWA SIHWA LAKE





# ELEKTROWNIA PŁYWOWA SIHWA LAKE



# ELEKTROWNIA PŁYWOWA SIHWA LAKE



# ELEKTROWNIA PŁYWOWA SIHWA LAKE



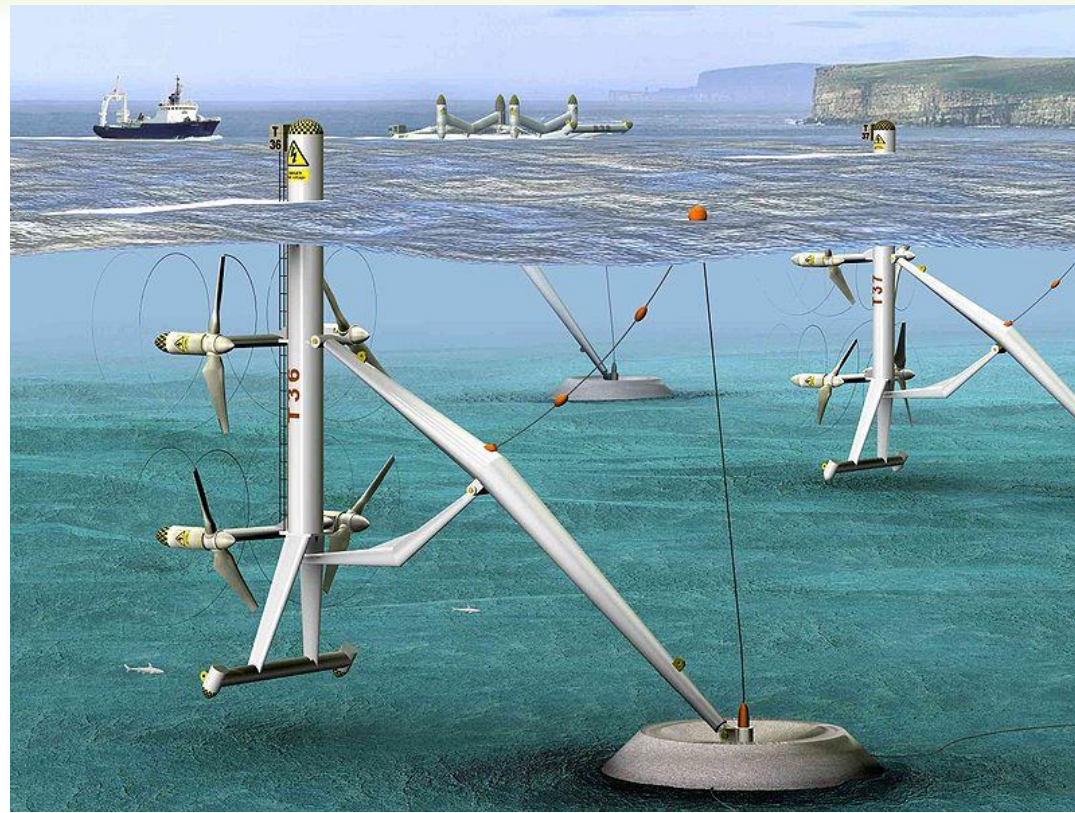
# ELEKTROWNIE PŁYWOWE W NURCIE

Energia kinetyczna wody

Energia mechaniczna

Energia elektryczna

# ELEKTROWNIE PŁYWOWE PRACUJĄCE W NURCIE



# ELEKTROWNIE PŁYWOWE PRACUJĄCE W NURCIE

## Turbiny osiowe

- Proste
- Obudowane (efekt Venturiego)

## Turbiny krzyżowe

- O osi pionowej
- O osi poziomej

## Generatory oscylacyjne

# PROSTA TURBINA OSIOWA



# OBUDOWANA TURBINA OSIOWA

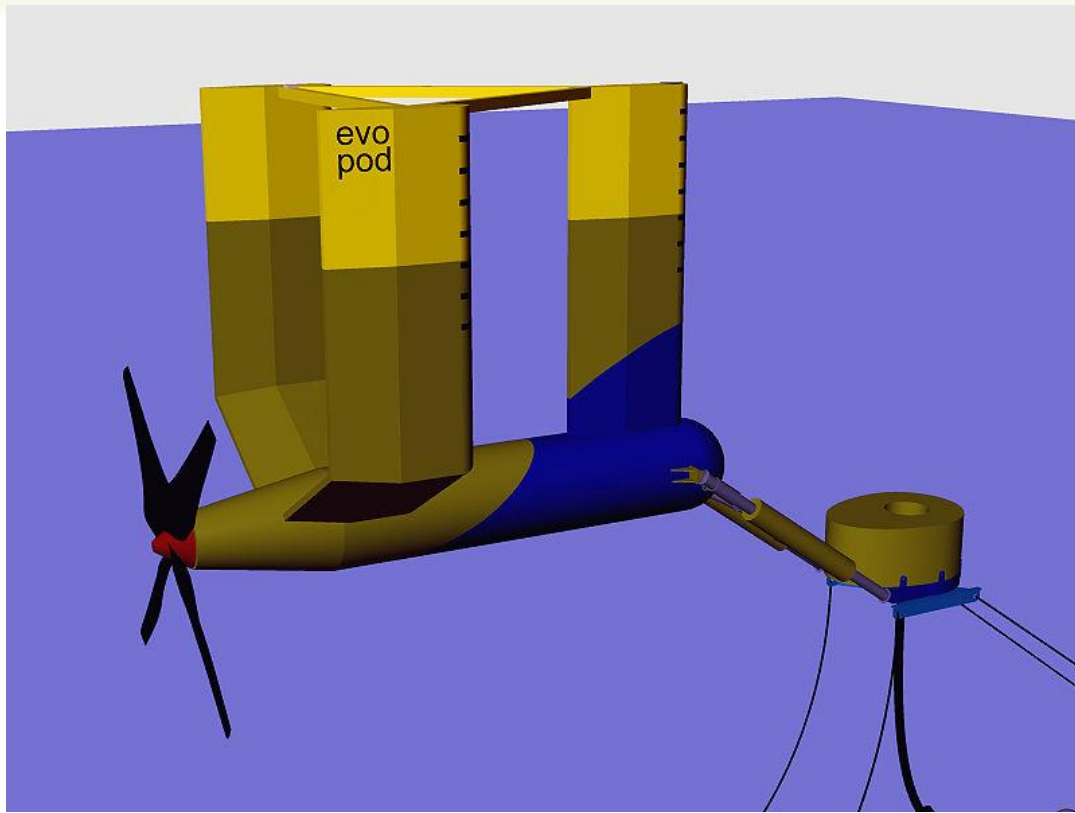
Otwór mający zapewniać bezpieczną trasę dla ryb



# EvoPOD

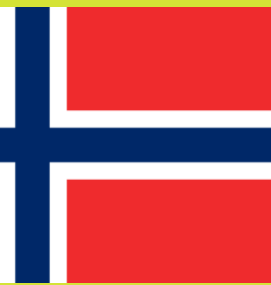
114

## PŁYWAJĄCA TURBINA OSIOWA



# EvoPOD PŁYWAJĄCA TURBINA OSIOWA





# KVALSUND

## Informacja o inwestycji

- Instalacja demonstracyjna Hammerfest Strom

## Lokalizacja

- Kvalsund, Finnmark, Norwegia
- Głębokość: 50 m

## Technologia

- 1 turbina Hammerfest Strom HS300 300 kW





# STRANGFORD LOUGH

## Informacja o inwestycji

- Instalacja demonstracyjna SeaGen
- Rok uruchomienia: 2008

## Lokalizacja

- Strangford Narrows, Irlandia Płn.

## Technologia

- 1 moduł SeaGen, 1,2 MW konstrukcji Marine Current Turbines Ltd
- 18-20 godzin pracy na dobę



# STRANGFORD LOUGH





# STRANGFORD LOUGH





# SOUND OF ISLAY PROJECT

## Informacja o inwestycji

- Projekt planowany przez Scottish Power Renewables
- Planowane ukończenie w 2013 (?)

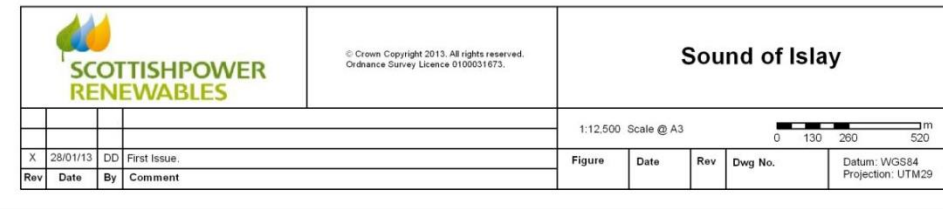
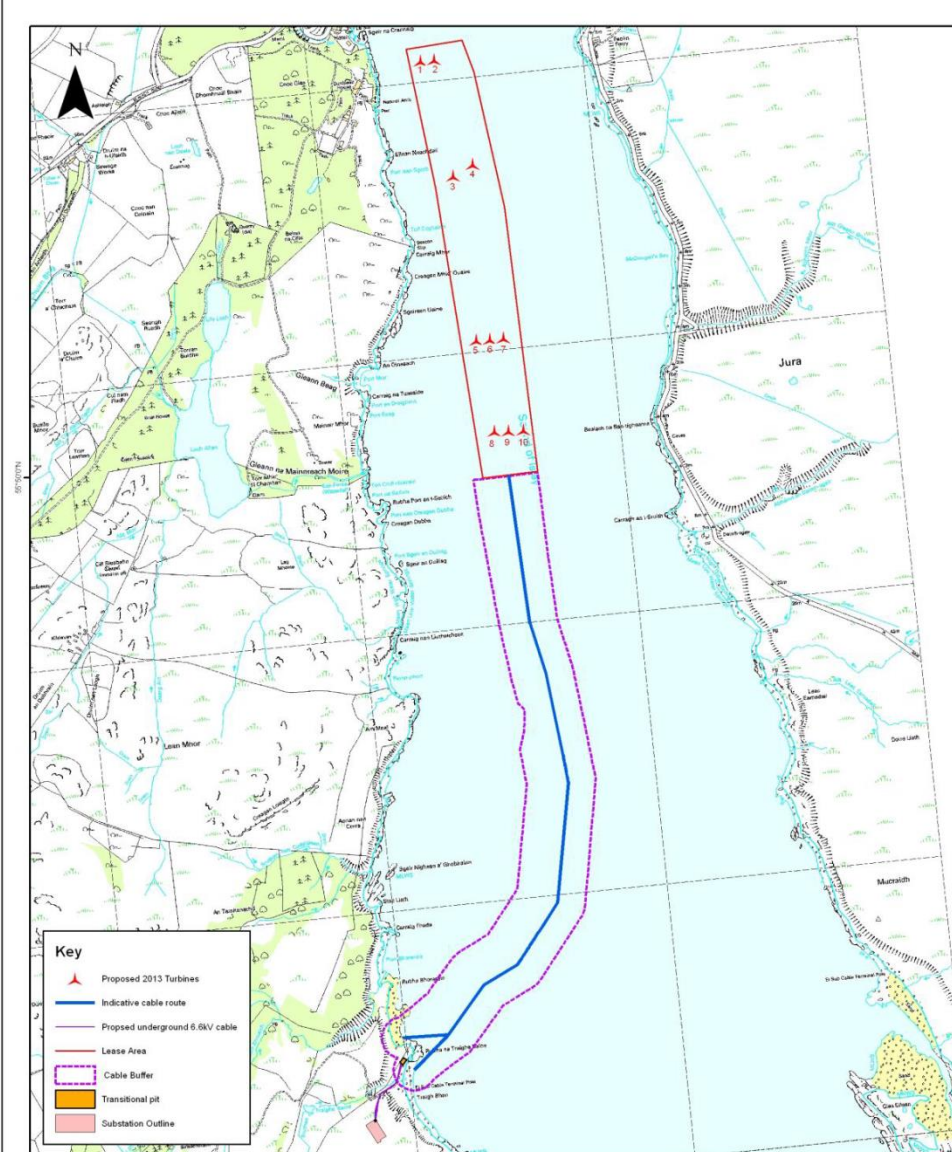
## Lokalizacja

- Sound of Islay, Szkocja

## Technologia

- $10 \times$  Hammerfest Strom HS1000,  $10 \times 1 \text{ MW}_e$





# DYNAMIC TIDAL POWER

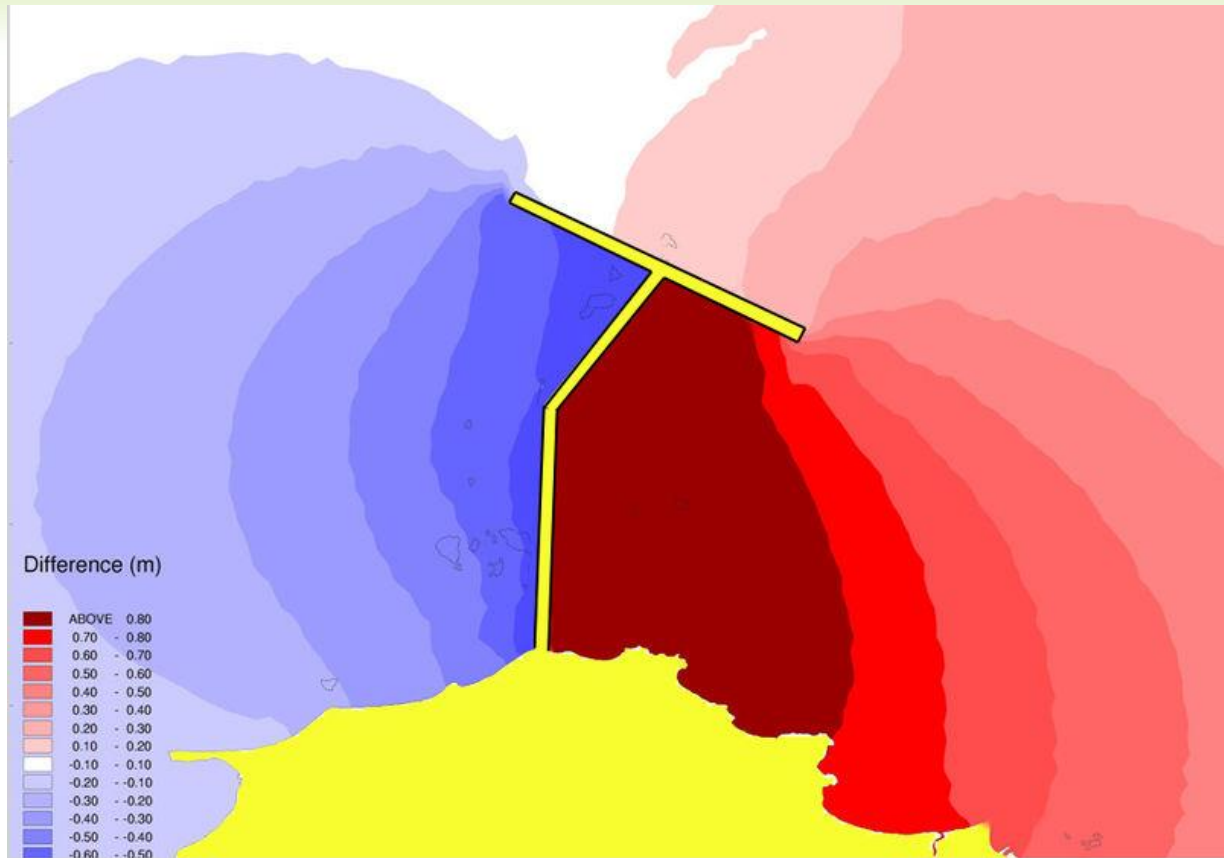
## Technologia

- Ogromne konstrukcje spiętrzające w kształcie litery T, prostopadle do brzegu (dł. 30-60 km)
- Wykorzystanie postępowania pływu wzdłuż brzegu
- Moc instalacji do 8 GW, wsp. wykorzystania mocy 30%
- Moc proporcjonalna do kwadratu długości zapory

## Zastosowanie

- 1997 – patent uzyskany przez holenderskich inżynierów Keesa Hulsbergena i Roba Steijna
- Brak wdrożeń – nawet instalacja pilotażowa musi być ogromna

# DYNAMIC TIDAL POWER



# DYNAMIC TIDAL POWER



## Działania planowane do 2015 r.

- Określenie najlepszych potencjalnych lokalizacji w ChRL, Korei, Wlk. Brytanii
- Opracowanie szczegółowego studium wykonalności dla dwóch instalacji prototypowych w Chinach
- Opracowanie wstępnego studium wykonalności dla pełnoskalowej instalacji DTP w ChRL
- Rozpowszechnianie informacji o DTP wśród wybranych grup

## Zaangażowane kraje

- Wlk. Brytania, ChRL, Republika Korei

## Środki

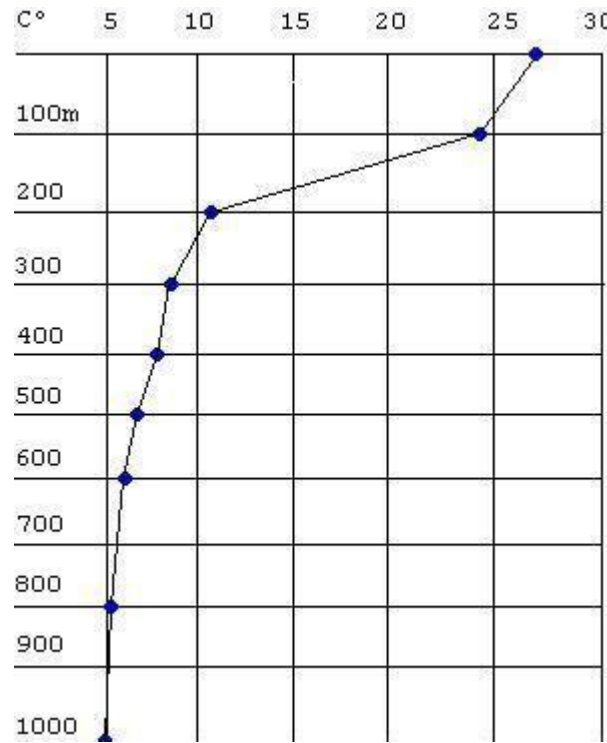
- Publiczno-prywatny program B+R o wartości 2,5 mln € współfinansowany przez Ministerstwo Gospodarki, Rolnictwa i Innowacji Holandii

# OCEAN THERMAL ENERGY CONVERSION (OTEC)

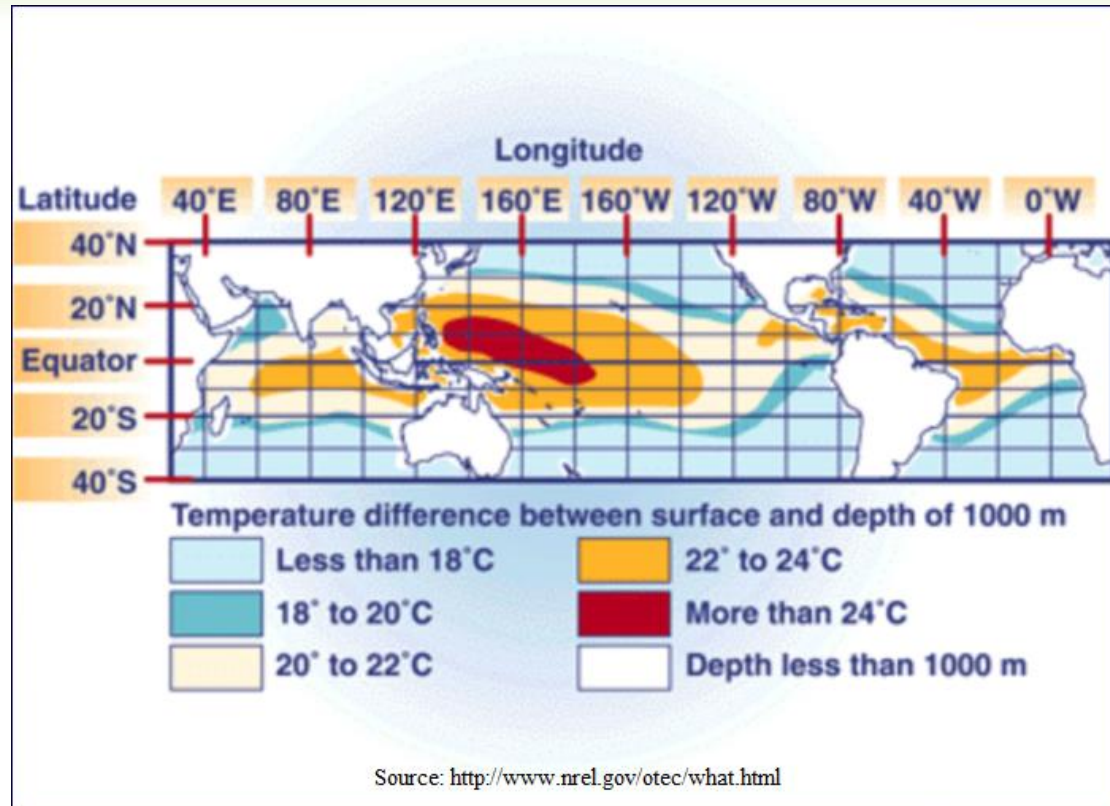
## Instalacja maretermiczna

- Wykorzystanie różnicy temperatur pomiędzy powierzchnią morza i wodą głębinową
- Niezbędna różnica ok. 20 K
- Górnego źródła ciepła – woda powierzchniowa
- Dolnego źródła ciepła – woda pompowana z dużych głębokości

# TEMPERATURA WODY MORSKIEJ



# OTEC



# TECHNOLOGIE OTEC

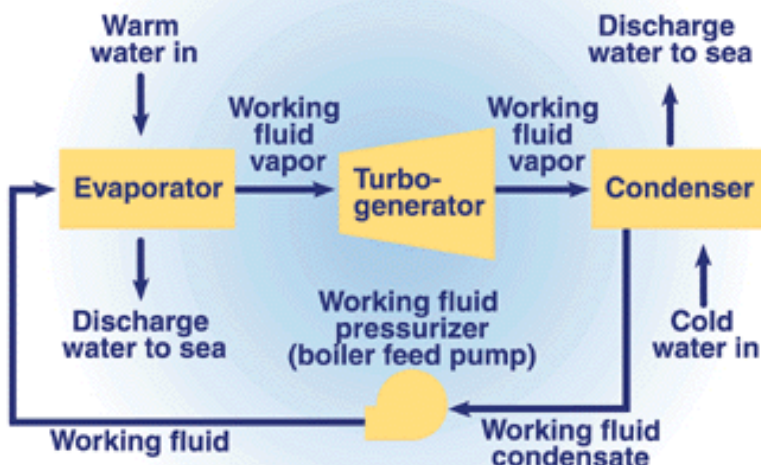
## Rodzaje układów

- Zamknięty
- Otwarty
- Hybrydowy

## Lokalizacje

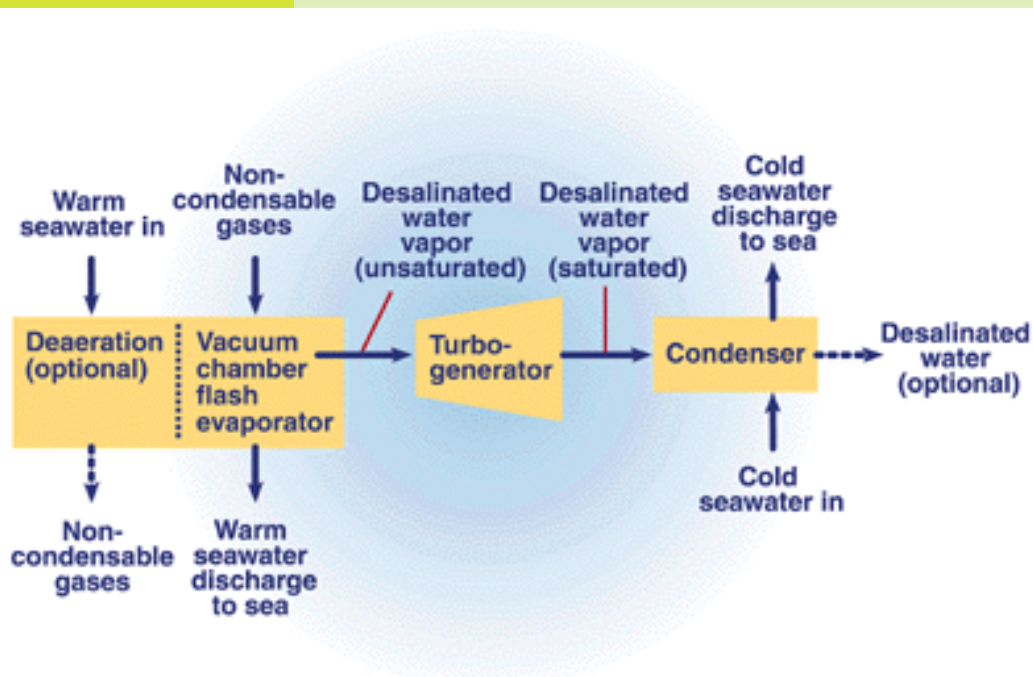
- Brzegowe
- Na krawędzi szelfu
- Pływające

## O OBIEGU ZAMKNIĘTYM



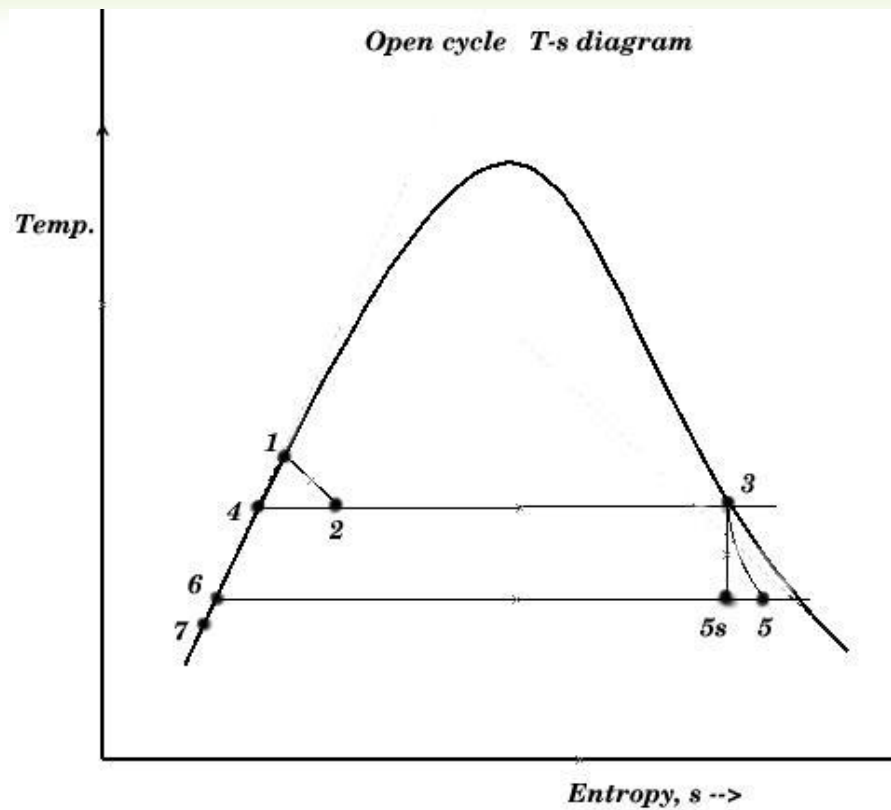
- ◎ Potrzebny specjalny czynnik roboczy (np. amoniak, czynnik chłodniczy)
- ◎ Niskotemperaturowy organiczny obieg Rankine'a (ORC)

## O OBIEGU OTWARTYM

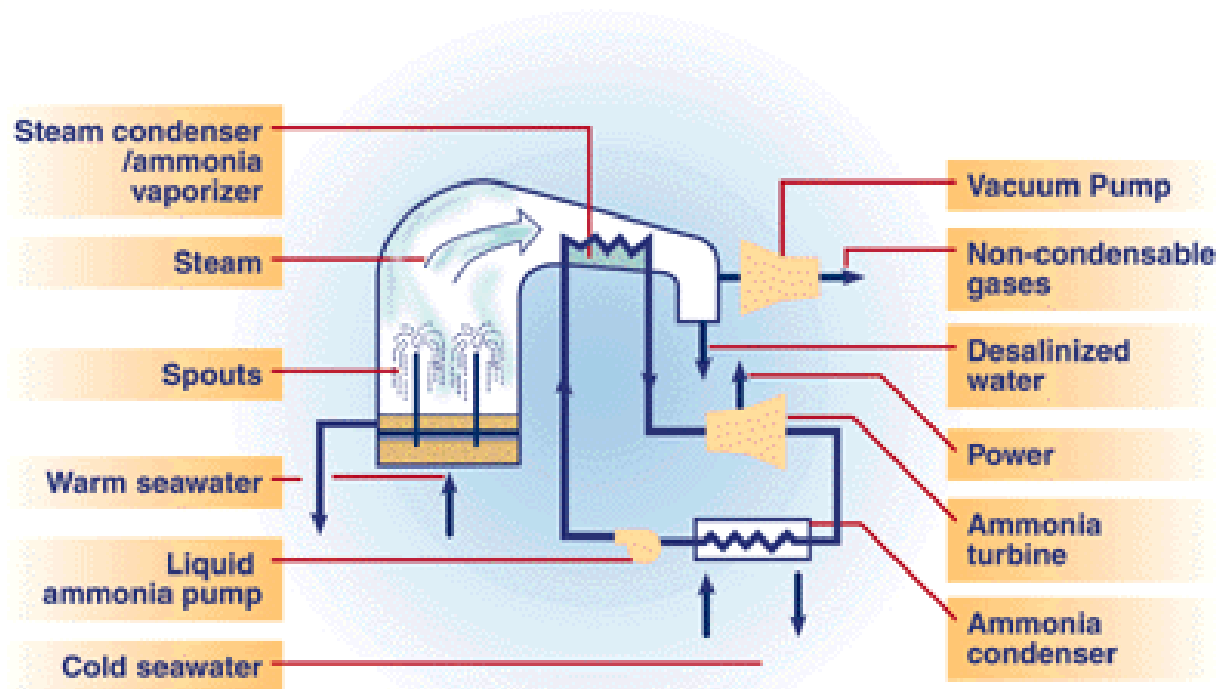


- ◎ Odparowanie w zbiorniku rozprężnym
- ◎ Ciśnienie pary świeżej ok. 1,2 kPa (a)
- ◎ Możliwość odsalania wody morskiej (odsalanie przy odparowaniu)

## O OBIEGU OTWARTYM



# HYBRYDOWY OTEC



# OTEC EXPERIMENTAL FACILITY KEAHOLE POINT, HAWAII, USA



View of OTEC facility at Keahole Pointe on the Kona coast of Hawaii. US Gov. - Department of Energy

# OTEC EXPERIMENTAL FACILITY KEAHOLE POINT, HAWAII, USA

## Historia instalacji

- Lata eksploatacji: 1992-1998

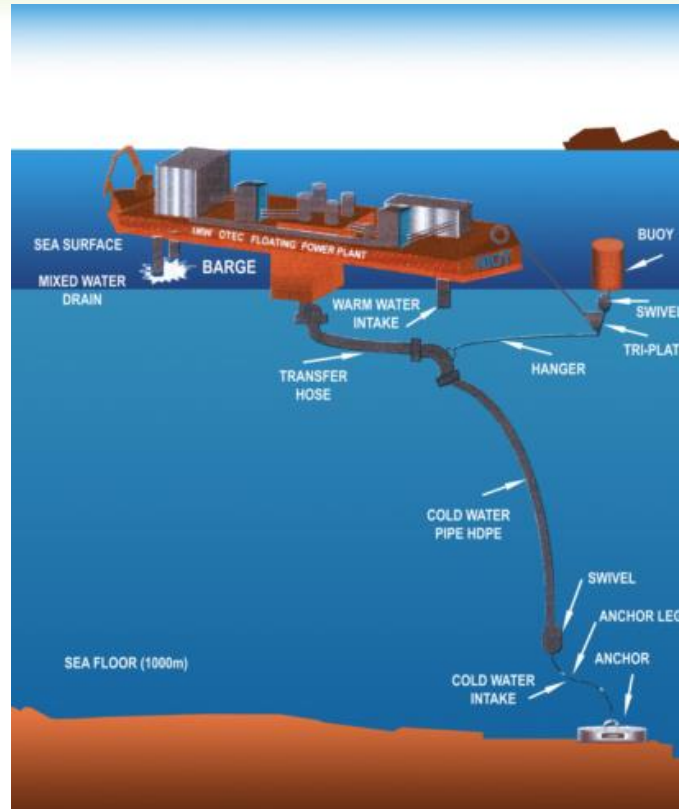
## Parametry procesu

- Temperatura wody 26/6°C

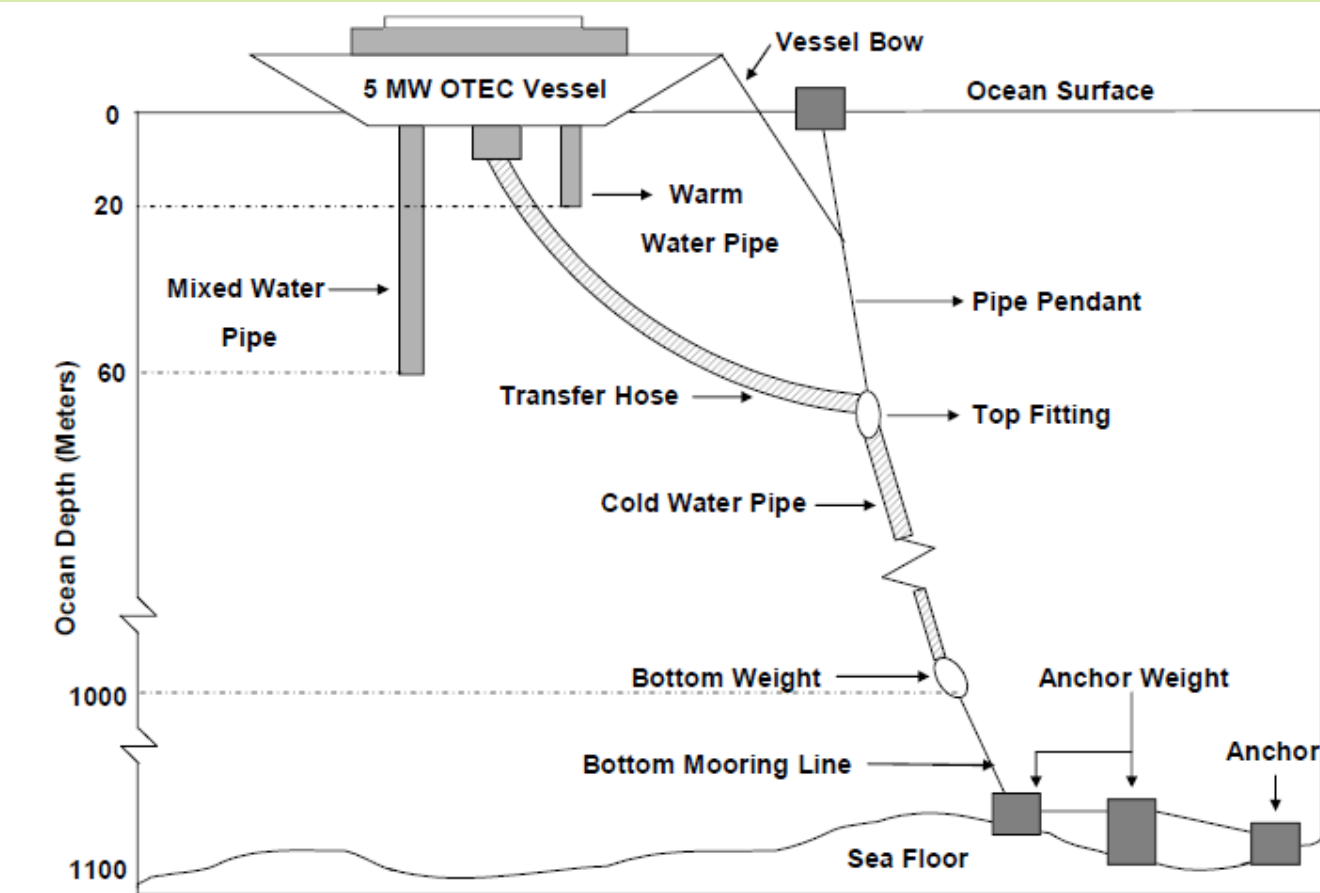
## Dane techniczne

- Moc zainstalowana 210 kW<sub>e</sub>
- Turbina 1800 obr./min, średnica 10 ft (ok. 3,3 m)
- Produkcja wody słodkiej, 26,5 tys. l/d

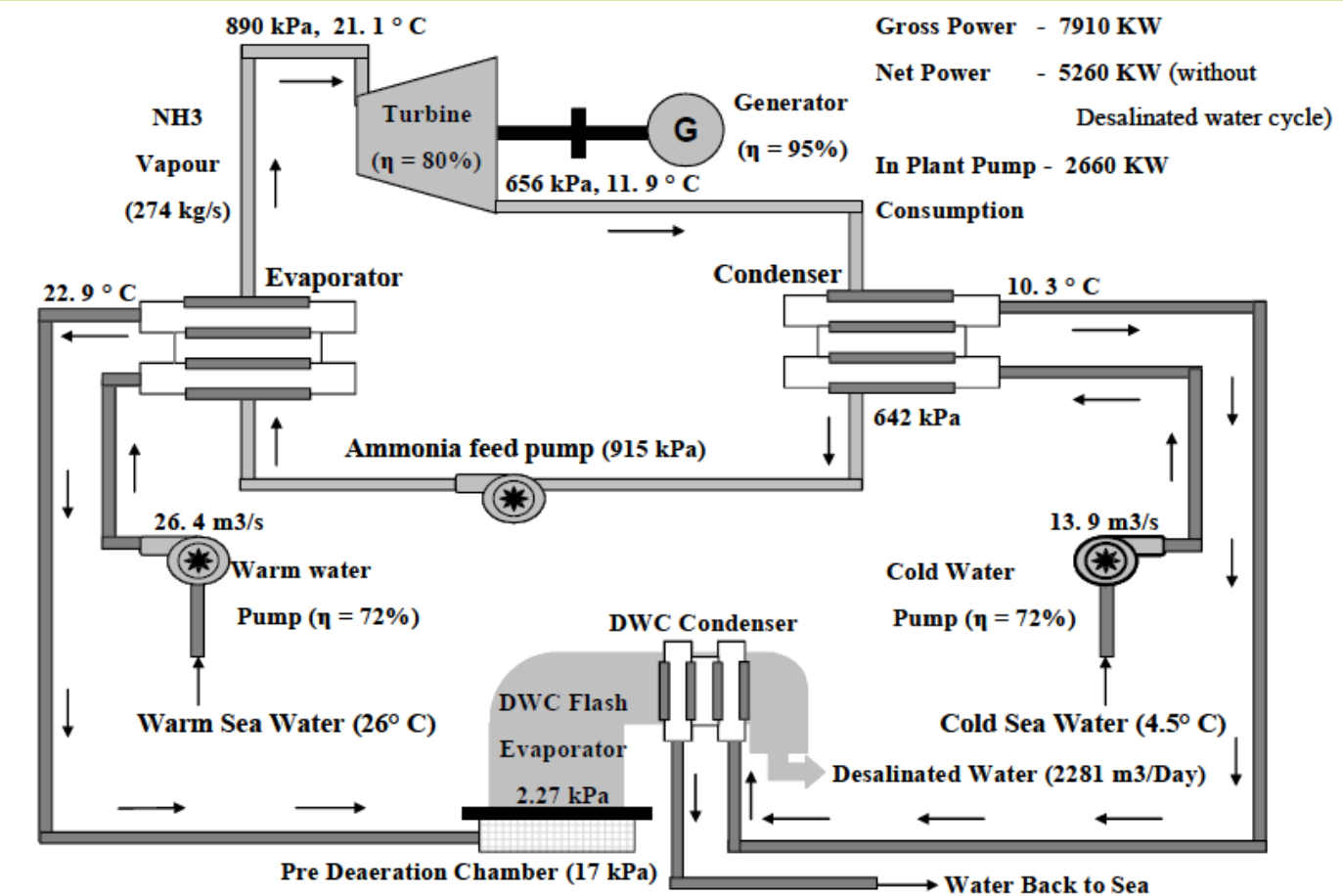
# 1 MW PŁYWAJĄCA OTEC TAMIL NANDU, INDIE, 2000



# OTEC KONCEPCJA INDYJSKA



## KONCEPCJA INDYJSKA



# OTEC INDIAN DEVELOPMENT



# REIGNWOOD GROUP PROJECT CHINY



## Informacje ogólne

- Inwestor: Reignwood Group, Pekin
- Wykonawca: Lockheed Martin
- List intencyjny z kwietnia 2013

## Lokalizacja

- U wybrzeży pld. Chin

## Dane techniczne

- Moc 10 MW
- Instalacja pływająca

# REIGNWOOD GROUP PROJECT CHINY



# ENERGIA FAL

Shore-based over-topping technology

Off-shore over-topping technology

Oscillating water column

Off-shore pitching devices

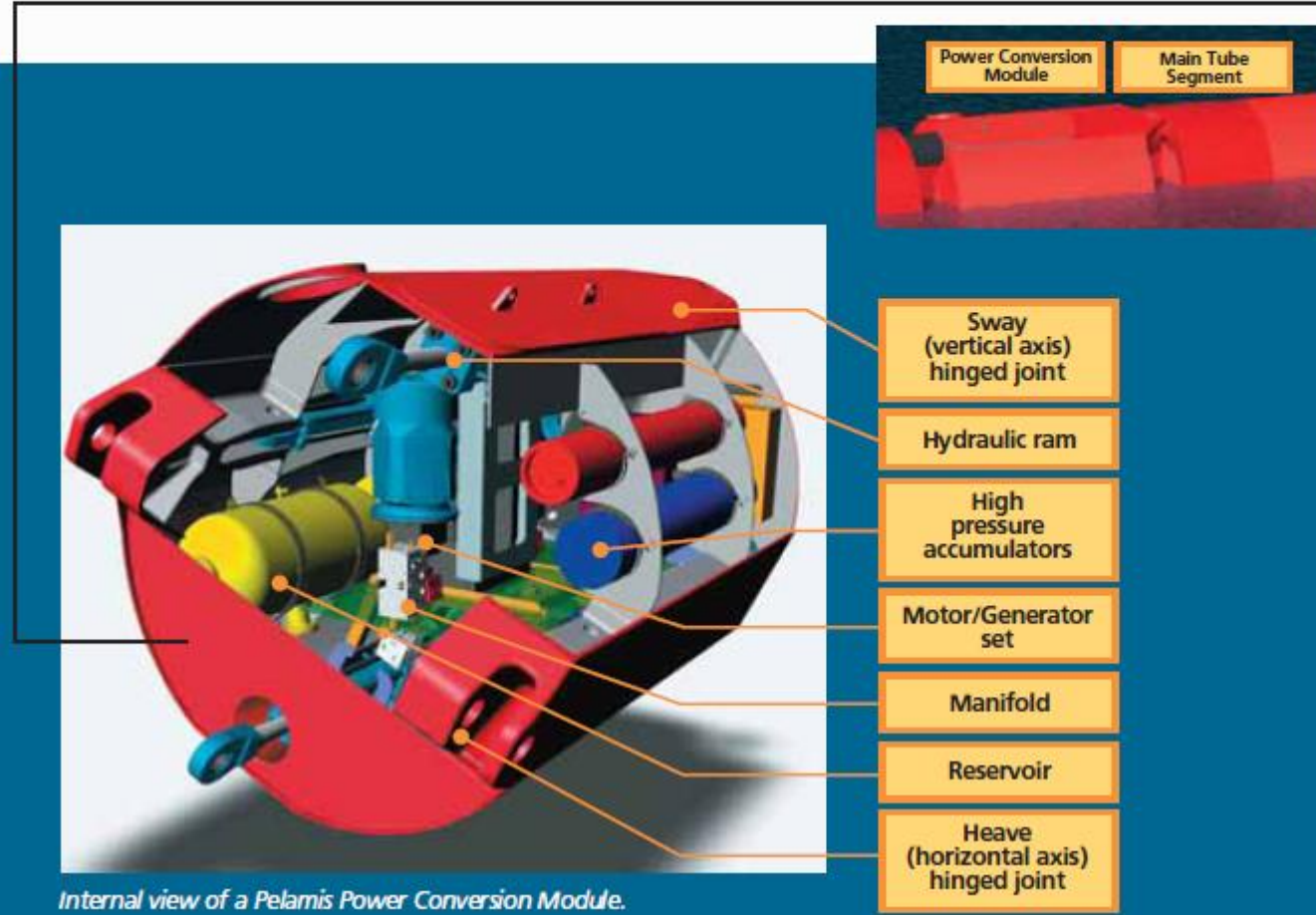
Off-shore point absorbers

Submerged direct generation

# PELAMIS WAVE ENERGY CONVERTER



- ◎ Opracowany przez Pelamis Wave Power company of Scotland
- ◎ Na wpół zanurzone cylindry połączone zawiasowo
- ◎ Wzajemny ruch sekcji wywołany falowaniem wytwarza ciśnienie w siłownikach hydraulicznych

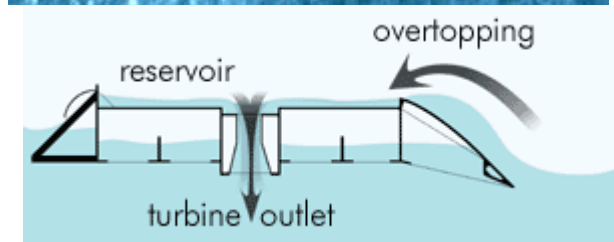


# AGUÇADOURA WAVE FARM



- ◎ Instalacja pilotażowa technologii Pelamis
- ◎ Moc zainstalowana 2,25 MW (3 × 750 kW)
- ◎ Dwa miesiące prób w 2008 r.
- ◎ Demontaż z uwagi na problemy z łożyskami, nie przywrócona do eksploatacji z powodu problemów natury ekonomicznej

# WAVE DRAGON



- ◎ Pływająca instalacja przelewowa
- ◎ Pływający zbiornik „zbierający” fale
- ◎ Turbiny Kaplana o osi pionowej
- ◎ Próby a małą skalę w Danii
- ◎ Planowane dalsze próby na Morzu Północnym, opóźnione

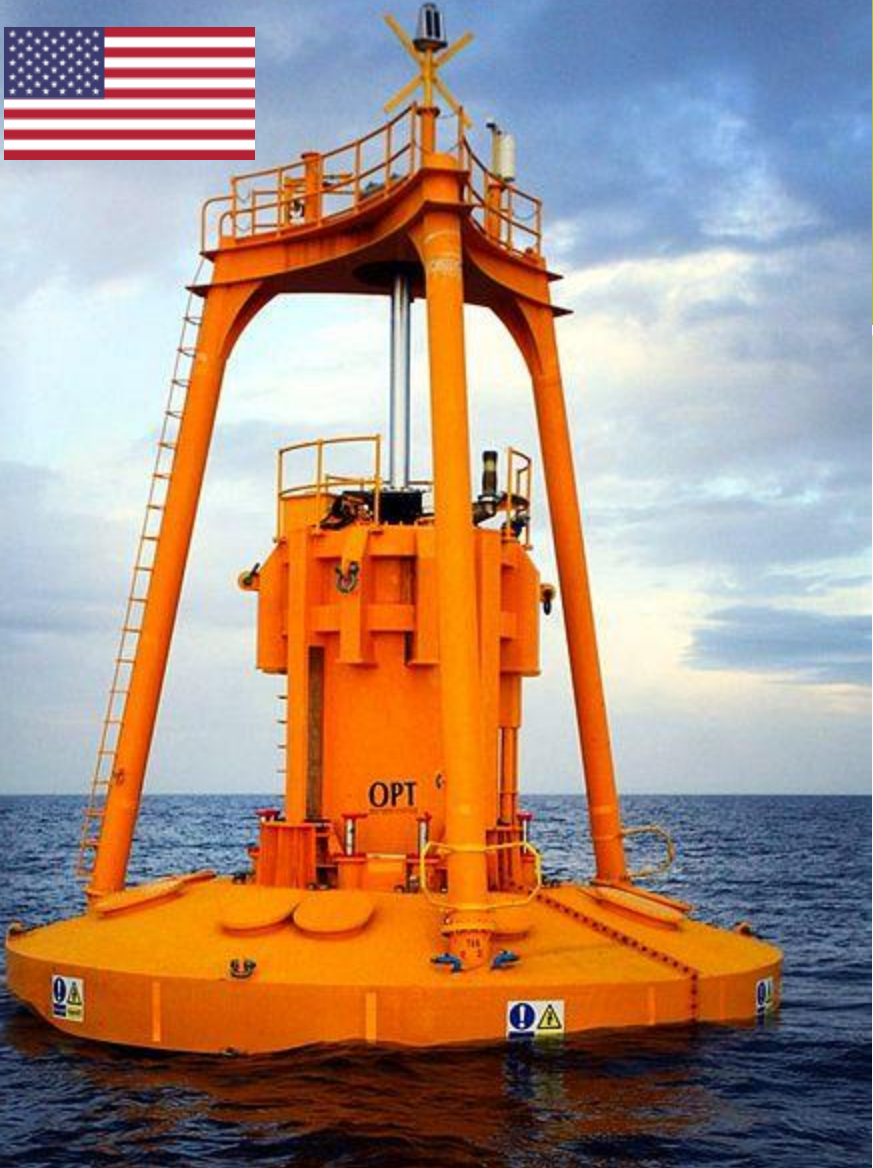
# WAVE DRAGON





# WAVE DRAGON

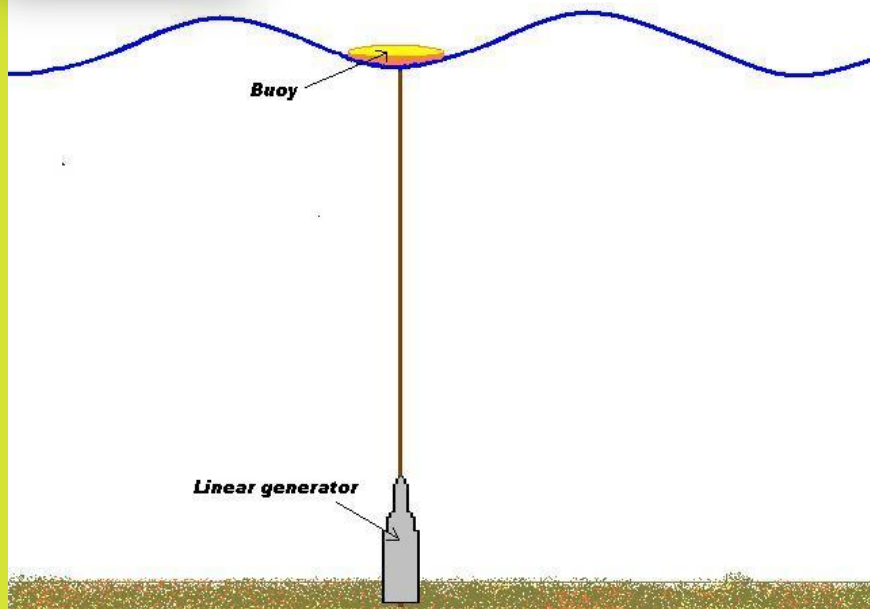




# POWER BUOY

Urządzenie pływające  
Min. głębokość 55 m  
Wsp. wyk. mocy do 45%  
Trwałość min. 25 lat  
Moc szczytowa do 2,4 MW

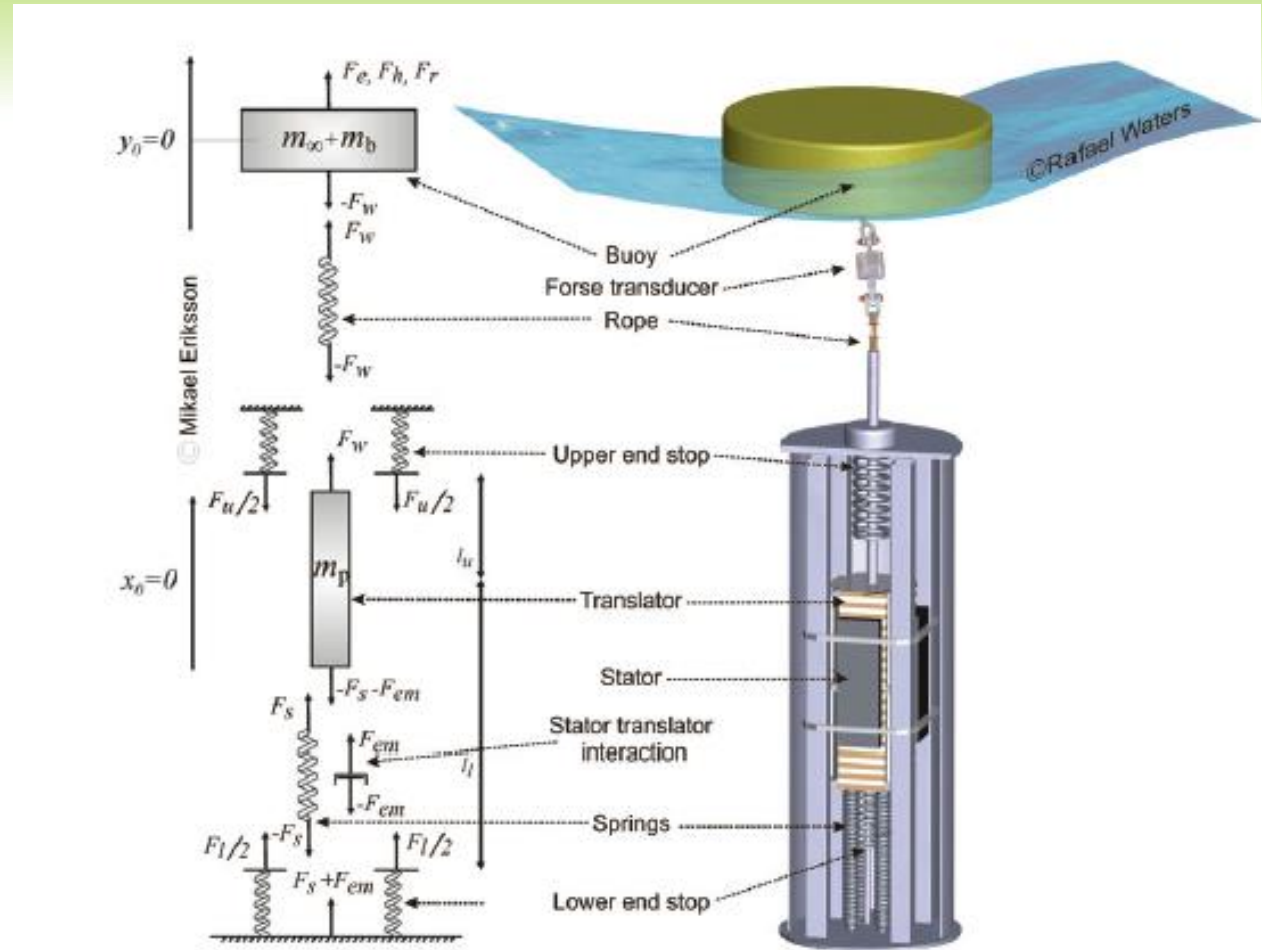
# PROJEKT LYSEKIL



- Opracowany na Uniwersytecie w Uppsali
- Projekt rozpoczęty w 2002 r.
- Próby 2 km od brzegu od 2006 r.
- Zainstalowane 3 moduły po 10 kW
- Wykorzystanie generatorów liniowych



# PROJEKT LYSEKIL



# INSTALACJE OSMOTYCZNE

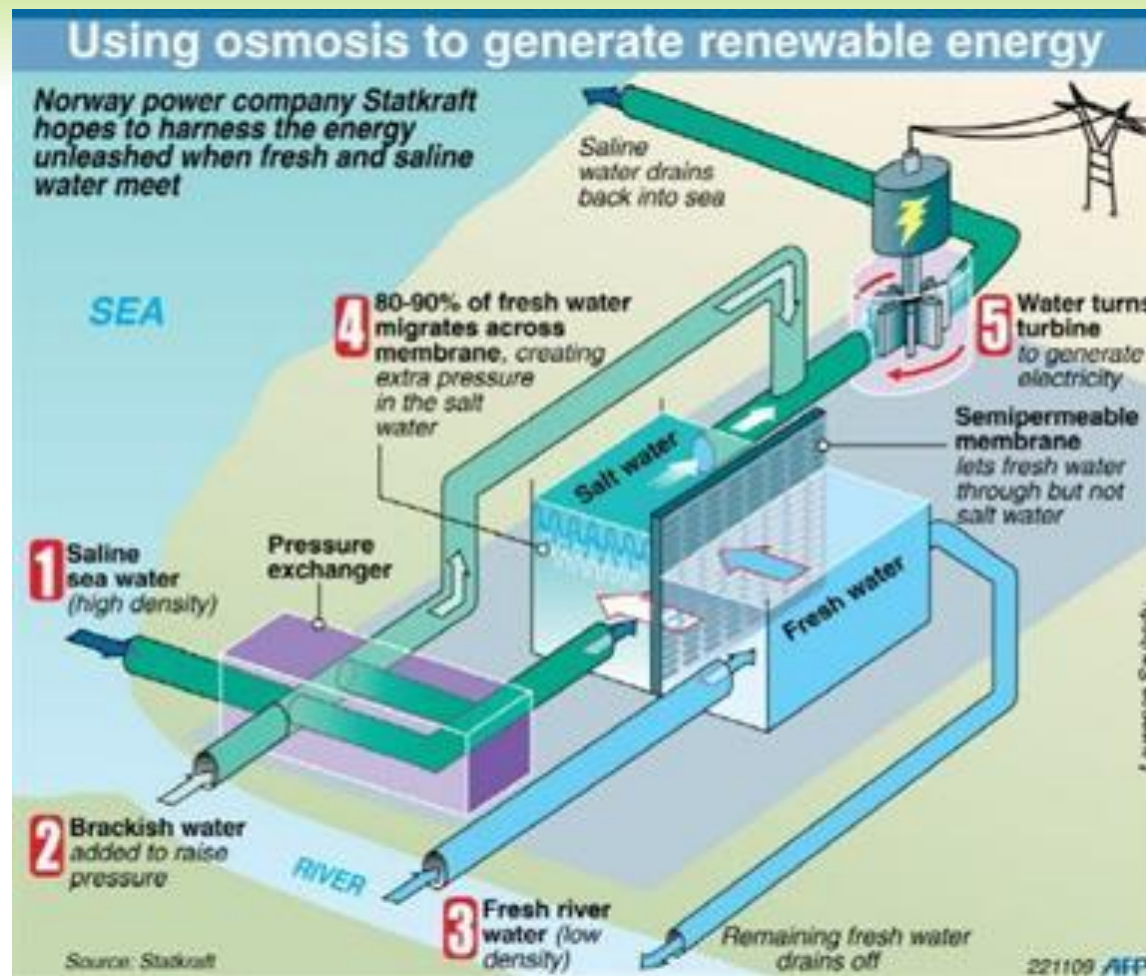
## Zasada działania

- Pompowanie wody słodkiej i słonej do zbiornika przedzielonego przegrodą membranową
- Penetracja membrany przez wodę słodką zwiększająca ciśnienie po stronie „słonej”
- Wykorzystanie wytworzonego spadu w turbinie wodnej

## Rozwój

- Instalacja pilotażowa: 2009 , firma Statkraft
- Moc 4 kW
- Przepływ przez membranę 10 dm<sup>3</sup>/s, ciśnienie 10 bar

# INSTALACJE OSMOTYCZNE



**DZIĘKUJĘ ZA UWAGĘ!**